

AZƏRBAYCAN RESPUBLİKASI

Əlyazması hüququnda

KİMYƏVİ ÇÖKDÜRMƏ YOLU İLƏ ALINMIŞ PbS(Se) NAZİK TƏBƏQƏLƏRİNĐƏ ELEKTRON VƏ FONON PROSESLƏRİ

İxtisas: 2220.01-Yarımkeçiricilər fizikası

Elm sahəsi: Fizika

İddiaçı: **Sara Nadir qızı Yasinova**

Fəlsəfə doktoru elmi dərəcəsi almaq üçün təqdim edilmiş
dissertasiyanın

AVTOREFERATI

Bakı – 2024

Dissertasiya işi Azərbaycan Respublikası Elm və Təhsil Nazirliyi Fizika İnstitutunun “Qeyri-kristallik yarımkəcicilərin fizikası və elektronikası” və Azərbaycan Respublikası Elm və Təhsil Nazirliyi Təbii Ehtiyatlar İnstitutu Fiziki tədqiqatlar laboratoriyalarında yerinə yetirilmişdir.

Elmi rəhbər: AMEA-nın müxbir üzvü, fizika-riyaziyyat elmləri doktoru, professor
Səlimə İbrahim qızı Mehdiyeva

Rəsmi opponentlər: AMEA-nın həqiqi üzvü, fizika - riyaziyyat elmləri doktoru, professor
Cavad Şahvələd oğlu Abdinov

fizika - riyaziyyat elmləri doktoru, professor
Yusif Quşu oğlu Nurullayev

fizika - riyaziyyat elmləri doktoru, professor
Rauf Mədət oğlu Sərdarlı

Azərbaycan Respublikasının Prezidenti yanında Ali Attestasiya Komissiyasının Azərbaycan Respublikası Elm və Təhsil Nazirliyi Fizika İnstitutunun nəzdində fəaliyyət göstərən ED 1.14 Dissertasiya şurası.



Akademik
Arif Məmməd oğlu Həşimov

fizika elmləri doktoru, dosent
Rəfiqə Zabil qızı Mehdiyeva

Elmi seminarın sədri:

fizika-riyaziyyat elmləri doktoru, professor
Hüseyin Behbud oğlu İbrahimov

İŞİN ÜMUMİ XARAKTERİSTİKASI

Mövzunun aktuallığı və işlənmə dərəcəsi.

Son zamanlar qurğunun xalkogenidləri əsasında yeni nanoquruluşlu yarımkəcirici funksional materialların alınmasına və tədqiqinə maraq intensiv şəkildə artmaqdadır. Bunun başlıca səbəbi müxtəlif innovativ metodlarla alınan qurğunun xalkogenidlərinin qeyri-xətti optik xassələrə, kimyəvi sensorlar üçün selektiv və passiv fiber ötürücü xüsusiyyətlərə, spektrin infraqırmızı (IQ) oblastında yüksək fotohəssaslığa malik olması ilə əlaqədardır.

İnfracırmızı texnikanın sürətli inkişafı spektrin bu oblastına həssas yarımkəcirici materialların sintezi və alınma texnologiyasının təkmilləşdirilməsi ilə sıx bağlıdır. Odur ki, funksional yarımkəcirici birləşmələr və onların nazik təbəqələri elektron və optik xassələrinə görə müxtəlif cihaz və qurğuların hazırlanmasında xüsusi əhəmiyyət daşıyır. Nazik təbəqələrin və nanostrukturların IQ texnikada geniş tətbiqi son zamanlar bu sahədə elmi tədqiqatlara diqqəti artırılmış, spektrin IQ oblastına həssas olan yeni yarımkəcirici nazik təbəqələrin alınması, struktur və fiziki xassələrinin öyrənilməsi yarımkəciricilər fizikasının ən aktual məsələlərindən olmuşdur. A^4B^6 qrupuna məxsus darzolaqlı yarımkəciricilər IQ optika üçün ən qiymətli materiallardır. Bu həmin materiallar əsasında hazırlanan çeviricilərin çoxfunksiyalı olmaları ilə bağlıdır. Yüksək texnoloji üsulların tətbiqi nəticəsində qeyd olunan materiallardan kvant nöqtələrinin, kvant məftillərinin və digər aşağıölçülü obyektlərin yaradılmasına marağın artması onların opto- və nanoelektronika qurğularında və alternativ enerji sistemlərində tətbiqi ilə də bağlıdır. Yarımkəciricilər fizikası və texnikasının müasir mərhələsində polikristallik strukturlardan nanostrukturlara keçidkə ölçülərdən asılı olaraq fiziki xassələrin dəyişilməsinə xüsusi diqqət verilir. Nanostrukturlu qurğunun xalkogenidlərinə artan marağın səbəblərindən biri də onların IQ oblastda işləyən çəvik, kompakt və aşağı enerji sərfiyyatlı olmasıdır. Elmi ədəbiyyatda kvant nöqtələrinə malik darzolaqlı yarımkəciricilərin optik xassələrinin tədqiqinə aid materiallar geniş təhlil olunur. Araşdırmaşlar göstərir ki, bu yarımkəciricilərdə kvant nöqtələrinin olmasını və xüsusiyyətlərini bilmək üçün spektrin IQ

oblastında qeyri-xətti optik xassələrin tədqiqi əhəmiyyətlidir. Məlum olmuşdur ki, IV-VI qrupa aid darzolaqlı yarımkəcicilər olan PbS, PbSe, $PbSe_xS_{1-x}$ qeyri-xətti optik xassələrə malik və spektrin yaxın və orta İQ oblastında ikifotonlu udma xüsusiyyətlərinə malik olub aşağı maliyyə dəyərli optik qurğularda uğurla tətbiq oluna bilir. Bu qəbildən olan tədqiqatların nəticələrinin təhlili göstərir ki, tərkibində nanoçubuqlar olan qurğusun xalkogenidlərinin sintezi, optik və quruluş xassələrinin öyrənilməsi elmi-praktiki aktuallıq kəsb edir. Müəyyən olunmuşdur ki, tərkibdən asılı olaraq tədqiq olunan nümunələrdə keçiriciliyin tipi dəyişir. Yarımkəcicici materiallar içərisində metal sulfidlərə və onlar əsasında bərk məhlullara çoxfunksiyalı xassələrinə görə tələbat yüksək səviyyədədir. Qurğusun sulfid əsasında hazırlanan fotoqəbuləciklər 50 ildən artıq bir müddətdə məlum olmalarına baxmayaraq bu gün də öz aktuallığını saxlayır. Ədəbiyyat materiallarının araşdırılması göstərir ki, Pb(S, Se, Te) sistemləri əsasında alınan həcmi və nanostrukturlu maddələrin quruluşunun identifikasiyası və səpilmə mexanizmilərinin müəyyənləşdirilməsi üçün işığın kombinasiyalı səpilməsi metodundan geniş istifadə olunur.

Darzolaqlı qurğusun xalkogenidləri (PbX , $X=S$, Se , Te) özlərinin geniş tətbiqinə, maraqlı fiziki xassələrinə görə son illər ən çox öyrənilən birləşmələrdəndir. Bu birləşmələrin nazik təbəqələri İQ oblastda işləyən detektorların, qaz sensorlarının, fotodiодların, İQ-lazerlərin, termoelektrik çeviricilərinin hazırlanmasında istifadəsinə görə böyük marağa səbəb olur¹.

Bərk cisimlər əsasında hazırlanan lazerlərə olan funksional tələblərin artması iki-fotonlu udma xüsusiyyətlərinə malik darzolaqlı yarımkəcicilərin optik xassələrinin geniş tədqiqinə səbəb olmuşdur². Aparılan tədqiqatlardan belə nəticəyə gelinir ki, qurğusun xalkogenidlərinin (PbSe və PbS) optoelektron xassələrini termik emalla, tərkibə daxil olan xalkogen komponentlərinin nisbi

¹ Маскаева, Л.Н. Технология тонких пленок и покрытий / Л.Н.Маскаева, Е.А.Федорова, В.Ф.Марков учебное пособие, –2019, –236 с.

² Wawrzynczyk, D. Third-order nonlinear optical properties of infrared emitting PbS and PbSe quantum dots / D.Wawrzynczyk, J.Szeremeta, M.Samoc et al. // The Journal of Physical Chemistry C., –2016. –T.120, № 38, –p.21939-21945.

konsentrasiyasını və eləcədə idarə oluna bilən kvant nöqtələrinin diametral ölçülərini ($8.1 \div 16.1$ nm intervalında) dəyişməklə tənzimləmək mümkündür³. Bu qəbildən olan digər tədqiqatlar göstərir ki, qaynar injeksiya metodu ilə alınan PbS(PbSe) maddələrində texnoloji rejimdən asılı olaraq nanohissəciklərin ölçülərinin $1.32 \div 2.26$ nm və $1.28 \div 2.48$ nm intervallarında idarə olunması quruluş, optik və elektrik xassələrinin məqsədyönlü idarə edilməsinə zəmin yaratdır⁴.

Eksitonun bor radiusunun böyük olmasına görə (8nm) qurğuşun xalkogenidləri əsasında olan birləşmələrin nanohissəciklərində nəzərə çarpacaq dərəcədə kvant ölçü effektlərini təcrübi müşahidə etmək mümkün olur⁵.

Müəlliflər əksər hallarda işığın kombinasiyalı səpilməsi zamanı müşahidə olunan daha intensiv zolaqları eninə (TO) və uzununa (LO) fononlara aid edirlər. Qurğuşun xalkogenidlərində fotooksidləşmə proseslərini minimum hala gətirmək üçün həyəcanlaşma intensivliyi aşağı səviyyədə olan optik tədqiqatların aparılması zəruridir. Qeyd olunan təhlillər göstərir ki, nəticələrin düzgün identifikasiyası əlavə kompleks məlumatların olmasını tələb edir. Beləliklə, dissertasiyada qarşıya qoyulan məqsəd və aparılan tədqiqatlar kifayət qədər aktualdır.

Tədqiqatın obyekti və predmeti:

Tədqiqatın obyekti otaq temperaturunda trietanolamin komponentli (və trietanolaminsiz) mühitdə kimyəvi çökdürmə üsulu ilə alınan PbS, PbSe, Pb_{0,5}Se_{0,5} nazik təbəqələri və onların tozşəkilli nümunələri, predmeti isə alınmış maddələrdə elektron və fonon proseslərinin tədqiqidir.

³Liu, J. Precipitation and optical properties of PbSexS_{1-x} quantum dots in glasses / J.Liu, J.Liu, W. Zhang et al. // Journal of Non-Crystalline Solids, –2023. –T. 604, –p.122156-122160.

⁴ El-Menawy, E.M. Structural, optical and electrical properties of PbS and PbSe quantum dot thin films / E.M.El-Menawy, G.M.Mahmoud, R.S. Ibrahim et al. // Journal of Materials Science: Materials in Electronics, –2016, –T.27., –p. 10070-10077.

⁵ Мараева, Е.В. Получение и исследованиеnanoструктурированных поликристаллических слоев и систем с квантовыми точками на основе халькогенидов свинца / Е.В. Мараева // Фундаментальные проблемы радиоэлектронного приборостроения, –2014. –Т. 14, № 3, –с. 47-50.

Tədqiqatın məqsədi və vəzifələri:

Kimyəvi çökdürmə üsulu ilə müxtəlif temperaturlarda nanostrukturlu PbS(Se), PbS_{0,5}Se_{0,5} nazik təbəqələrinin və tozlarının alınması, strukturdan asılı olaraq elektron xassələrinin dəyişmə qanunauyğunluqlarının və infraqırmızı texnikada tətbiq imkanlarının müəyyənləşdirilməsindən ibarətdir.

Qoyulan məqsədə çatmaq üçün aşağıdakı işlər görülmüşdür:

- Kimyəvi çökdürmə yolu ilə 60 °C və otaq temperaturlarında PbSe nazik təbəqəsi və tozu alınmış, trietanolamin komponentinin reaksiyanın gedışatına təsiri müəyyən edilmişdir;
- 40°C temperaturda və otaq temperaturunda PbS nazik təbəqəsi və tozu alınmışdır;
- Otaq temperaturunda və 50°C temperaturda PbS_{0,5}Se_{0,5}-nin nazik təbəqələri və tozu alınmışdır ;
- Müxtəlif temperaturlarda alınmış PbS, PbSe, PbS_{0,5}Se_{0,5} nazik təbəqələrinin, tozlarının Rentgen və Raman spektrləri çəkilmişdir;
- Skanedici atom qüvvə mikroskopunda PbSe və PbS_{0,5}Se_{0,5} nazik təbəqələrinin və tozlarının səth morfologiyası öyrənilmişdir;
- PbS, PbSe və PbS_{0,5}Se_{0,5} nazik təbəqələrinin elektrik keçiriciliyinin temperaturdan asılılığı öyrənilmişdir;
- PbSe və PbS_{0,5}Se_{0,5} nazik təbəqələrinin Ellipsometriya metodu ilə optik parametrləri tədqiq edilmiş və nəticələr “Graphycal analysis” programı vasitəsilə araşdırılmışdır;
- PbS, PbSe və PbS_{0,5}Se_{0,5} nazik təbəqələrinin spektrin infraqırmızı oblastında optik udulma əmsalları ölçülmüşdür;
- Rentgen difraksiya səpilməsindən nanohissəciklərin optimal ölçüləri təyin olunmuş və onların Raman səpilməsinə təsirləri analiz olunmuşdur;
- PbS, PbSe və PbS_{0,5}Se_{0,5} tozlarının 20-800°C temperatur intervalında termoqravimetrik analizləri aparılmışdır.

Tədqiqat metodları:

Aparılan tədqiqatlarda PbS, PbSe və PbS_{0,5}Se_{0,5} maddələrinin ellipsometrik ölçmələri, nano quruluşunun, fonon spektrinin və elektron xassələrinin tədqiqi üçün Rentgen şüalarının difraksiyası, Raman spektroskopiyası, optik spektroskopiya, diferensial skanlayıcı

kalorimetriya (DSK) metodları tətbiq olunmuşdur.

Müdafiəyə çıxarılan əsas elmi müddəələr:

1. Müxtəlif temperaturlarda kimyəvi çökdürmə yolu ilə qurğunun xalkogenidlərinin (PbS , $PbSe$ və $PbS_{0,5}Se_{0,5}$) nazik təbəqələrinin alınma texnologiyasının işlənib hazırlanması və sintezi;

2. Sintez zamanı qarışq məhlulda trietanolamin komponentinin miqdəri artdıqca PbS nazik təbəqəsinin qadağan zonasının kiçilməsi və trietanolaminin olmadığı halda maksimum qiymət alması;

3. Məhlula trietanolamin komponeneti əlavə olunmadan alınan $PbSe$ tozunda eni 376 nm, uzunluğu 3-4 mkm, əlavə olunduqda isə uzunluğu 5-6 mkm, eni 150 nm olan nanoçubuqların aşkar olunması;

4. Nanostrukturlu $PbSe$ nazik təbəqəsinin dielektrik funksiyasının həqiqi və xəyalı hissələrinin spektral asılılıqlarından alınan ən yaxşı fitting halının 2D formalı kritik nöqtə halına uyğun olması;

5. $PbSe$ nazik təbəqəsi üçün təqdim edilən $E=2,5$ eV qiymətinin nəzəri hesablanmış $E=2,3$ eV qiymətinə yaxın olub kritik nöqtənin $m=0$ ikiölülü (2D) halına və $L_4 \rightarrow L_6$ keçidinə uyğunluğu;

6. PbS , $PbSe$ və $PbS_{0,5}Se_{0,5}$ nümunələrinin Raman səpilmə spektrlərində müşahidə olunan piklərin eninə və uzununa optik fononlarla əlaqədar olması;

7. PbS , $PbSe$ və $PbS_{0,5}Se_{0,5}$ nümunələrinin buraxma spektrlərinin infraqırmızı oblastında müşahidə olunan müxtəlif tezlikləri piklərin aid olduğu funksional qrupların müəyyən edilməsi qadağan zonanın eninin $0,35 \div 0,39$ eV arasında dəyişməsi;

Tədqiqatın elmi yeniliyi:

1. Müxtəlif temperaturlarda kimyəvi çökdürmə yolu ilə qarışq məhlulda qurğunun xalkogenidlərinin (PbS , $PbSe$ və $PbS_{0,5}Se_{0,5}$) nazik təbəqələrinin və tozlarının alınma texnologiyası işlənib hazırlanmış, qalınlıqları ≈ 200 nm olan nazik təbəqələr və narın tozları alınmışdır.

2. Məhlula trietanolamin komponenti əlavə olunmadan alınan $PbSe$ tozunda eni 376 nm, uzunluğu 3-4 mkm, əlavə olunduqda isə uzunluğu 5-6 mkm, eni 150 nm olan nanoçubuqlar müşahidə olunmuşdur.

3. PbS , $PbSe$ və $PbS_{0,5}Se_{0,5}$ nazik təbəqələrinin ellipsometrik

ölçmələrinin nəticələri "Graphical analisys" programı ilə araşdırılmış və PbSe üçün tapılan $E=2,5$ eV qiymətinin nəzəri hesablanmış $E=2,3$ eV qiymətinə yaxın olub $m=0$ ikiölçülü (2D) halına və Brüllen zonasının $L_4 \rightarrow L_6-a$, $PbS_{0,5}Se_{0,5}$ üçün isə $E=3,5$ eV olub $L_5 \rightarrow L_6$ keçidinə uyğunluqları göstərilmişdir.

4. Rentgen difraksiya spektrlərində PbSe və $PbS_{0,5}Se_{0,5}$ -də 2θ bucaqları üst-üstə düşür, PbS -də isə bu nisbətən kiçik bucaqlara tərəf yerini dəyişir. $PbS_{0,5}Se_{0,5}$ və PbS -də (111) müstəvilərindən əksolmaya uyğun piklərin bucaqları arasındaki fərq $2\theta \approx 0,9^\circ$ olduğu halda, bucaqlar böyüdükcə bu fərq tədricən arataraq (422) müstəvilərindən əksolma üçün $2\theta \approx 3^\circ$ olmuşdur.

5. Selenin kükürdlə yarı əvəzlənməsi nəticəsində Raman səpilmə spektrində müşahidə olunan piklərin nisbətən böyük tezliklərə (70 sm^{-1}) doğru sürüşməsinin (111) müstəvisində səpilməyə zəmin yaradan nanohissəciklərin kristallit ölçülərinin artması ilə bağlılığı göstərilmişdir. Spektrin $\sim 254 \text{ sm}^{-1}$ -də müşahidə olunan maksimumu elmi ədəbiyyatda Se_8 halqalarının mövcudluğu ilə əlaqələndirilir. $120 \div 122 \text{ sm}^{-1}$ -də müşahidə olunan piklər isə həm eninə, həm də uzununa fononların birgə iştirakı olduğu haldakı səpilməni göstərir.

6. PbS, PbSe və $PbS_{0,5}Se_{0,5}$ nümunələrində spektrin infraqırmızı oblastında müşahidə olunan müxtəlif tezliklərə uyğun piklərin aid olduğu funksional qruplar identifikasiya olunmuş və həmin təbəqələr üçün Taus formuluna əsasən təyin olunan qadağan zonanın eninin qiymətlərinin $0,3 \div 0,39$ eV arasında dəyişməsi və ədəbiyyatda göstərilən qiymətlərlə uyğunluğu müəyyən edilmişdir. Qarışq məhlulda trietanolaminin miqdarı artdıqca alınan PbS nazik təbəqəsinin qadağan zonası azalır trietanolaminin iştirak etmədiyi halda bu kəmiyyət özünün maksimum qiymətini alır.

Tədqiqatın nəzəri və praktiki əhəmiyyəti:

Təqdim olunan dissertasiyada kimyəvi çökdürmə üsulu ilə alınan PbS, PbSe və $PbS_{0,5}Se_{0,5}$ nazik təbəqələrinin optik udulma spektrlərinin analizi göstərir ki, fundamental udulma kənarı və o cümlədən optik qadağan zonalarının eni $Eg \sim 0,347 \div 0,392$ eV intervalında dəyişərək spektrin infraqırmızı oblastına düşür. Bu nəticələr göstərir ki, tədqiq olunan nümunələr dar zolaqlı yarımkəçirici olub, sadə alınma

texnologiyası ilə yanaşı, infraqırmızı detektorlarda perspektiv tətbiq imkanlarına malikdir. Aparılan tədqiqatlar göstərir ki, qeyd olunan metodla alınan PbS, PbSe və PbS_{0,5}Se_{0,5} nanohissəciklərinin effektiv ölçülərini məqsədyönlü idarə etməklə tələb olunan qeyri-xətti optik xassələrə, ion selektiv sensor xüsusiyyətlərinə malik optik çeviricilərin və sensorların aktiv işçi elementlərini almaq mümkündür. Kimyəvi çökdürmə üsulu ilə alınan PbS, PbSe və PbS_{0,5}Se_{0,5} nanohissəcikli nazik təbəqələr spektrin orta infraqırmızı oblastında nisbətən zəif udulma əmsalına malik olduğundan passiv fiber ötürüclərdə tətbiq oluna bilər.

Aprobasiyası və tətbiqi:

Dissertasiyanın nəticələri aşağıdakı elmi konfranslarda məruzə edilmişdir:

- Elektrik mühəndisliyinin texniki və fiziki problemləri 15-ci Beynəlxalq Konfrans (İstanbul, 2019) ;
- Elektrik mühəndisliyinin texniki və fiziki problemləri 16-ci Beynəlxalq Konfrans (İstanbul, 2020) ;
- Elektrik mühəndisliyinin texniki və fiziki problemləri 19-cu Beynəlxalq Konfrans (İstanbul, 2023) ;
- Fizikanın aktual problemləri Beynəlxalq elmi konfransı (Naxçıvan, 2024) ;
- Advanced Laser Technologies, İnternetional Conference ALT24, 23-27 September 2024, Vladivostok, Russia;
- Naxçıvan Muxtar Respublikasının 100 illiyi və Azərbaycan Respublikası Elm və Təhsil Nazirliyi Fizika İnstitutu alımlarının yubileyinə həsr olunmuş beynəlxalq konfrans (Naxçıvan 2024);

“Dissertasiya işinin mövzusuna dair yerli və xarici elmi nəşrlərdə 15 elmi əsər çap olunmuşdur. Bunların 9-u məqalə 6-sı isə beynəlxalq konfrans materialıdır.

Dissertasiya işinin yerinə yetirildiyi təşkilatın adı: Dissertasiya işi Azərbaycan Respublikası Elm və Təhsil Nazirliyi Fizika İnstitutunda və Azərbaycan Respublikası Elm və Təhsil Nazirliyi Təbii Ehtiyatlar İnstitutunda yerinə yetirilmişdir.

Dissertasiyanın strukturu və həcmi. Dissertasiya işi giriş, 5 fəsil, nəticələr və 124 adda istinad edilmiş ədəbiyyatın bibliografiq siyahısından ibarət olmaqla, 132 səhifədə şərh olunmuşdur. Dissertasiya işində 59 şəkil, 7 cədvəl vardır. Giriş – 24204 işarə

sayı, I fəsil – 48381 işarə sayı, II fəsil – 30235 işarə sayı, III fəsil – 22870 işarə sayı, IV fəsil – 9608 işarə sayı, V fəsil – 23859, Nəticə – 3742 işarə sayından ibarətdir.

Dissertasiya işinin ümumi həcmi cədvəl, şəkil, ədəbiyyat siyahısı istisna olunmaqla 162899 işarədən ibarətdir.

DİSSERTASIYANIN ƏSAS MƏZMUNU

Girişdə dissertasiya işinin mövzusunun aktuallığı əsaslandırılmış, işin məqsədi, elmi yeniliyi, praktiki əhəmiyyəti göstərilmiş, müdafiəyə çıxarılan əsas müddəəalar, aprobasiya dərəcəsi, nəşrlər barədə məlumat verilmiş, həmçinin fəsillər üzrə əsas məzmunu qısaca şərh olunmuşdur.

Birinci fəsildə PbS, PbSe və $PbS_{0,5}Se_{0,5}$ nazik təbəqələrinin tədqiqi ilə bağlı ədəbiyyat icmali araşdırılır. Kimyəvi çökdürmə üsulu ilə alınmış PbS, PbSe və $PbS_{0,5}Se_{0,5}$ nazik təbəqələrinin və tozlarının texnikada geniş tətbiq imkanları, strukturu, fiziki xassələri, ədəbiyyat materiallarından əldə edilən məlumat əsasında müqayisəli təhlil edilmişdir. Kimyəvi çökdürmə üsulunun tətbiq baxımından daha keyfiyyətli və əlverişli üsul olmasından geniş bəhs edilmişdir. Ədəbiyyat materiallarının araşdırmasından belə bir nəticəyə gəlmək mümkündür ki, kimyəvi çökdürmə yolu ilə alınmış $PbX(S,Se,Te)$ yarımkəcirici nazik təbəqələri elektrotexnikada daha geniş tətbiq olunur. Qeyd edilir ki, PbSe və $PbS_{0,5}Se_{0,5}$ yarımkəcirici nazik təbəqələrinin optik xassələri lazımlıca öyrənilməmişdir. Ədəbiyyat materiallarından belə nəticəyə gəlinir ki, Raman ölçmələrində eninə və səth fonon modları adətən simmetriya məhdudiyyətləri ucbatından müşahidə olunmur. Bu qəbildən olan tədqiqatlar göstərir ki, PbS, PbSe, $PbS_{0,5}Se_{0,5}$ nazik təbəqələrində səth layları və laylarla bağlı yaranan defektlər fiziki parametrlərin idarə olunmasına mühüm rol oynayır. Həmçinin ədəbiyyat materiallarından məlum olur ki, PbS, PbSe və $PbS_{0,5}Se_{0,5}$ nazik təbəqələrinin kvant məhdudlanma effektləri aşağı ölçüülü yarımkəciricilərin dielektrik funksiyasına ciddi təsir edir.

Beləliklə, elmi ədəbiyyatın geniş təhlili göstərir ki, dissertasiya işində aparılan tədqiqatlar həm elmi, həm də praktiki cəhətdən qarşıya qoyulan mühüm problemin həllinə tövəfə verəcəkdir.

İkinci fəsildə Ədəbiyyat materiallarına istinadən PbS, PbSe, PbS_{0,5}Se_{0,5} nazik təbəqələrinin kimyəvi çökdürmə yolu ilə alınma texnologiyası və onun üstünlüklerindən qisaca bəhs edilir. Sonra isə dissertasiya işində istifadə olunan materialların (PbS, PbSe, PbS_{0,5}Se_{0,5}) nazik təbəqələrinin alınma texnologiyası haqqında nəticələr şərh olunur. Kimyəvi çökdürmə yolu ilə 40°C temperaturda PbS nazik təbəqəsinin və tozunun alınması üçün trietanolamin komponentinin miqdarına əsasən nazik təbəqələrin keyfiyyətləri araşdırılmışdır. Məhlulda qurğunun asetat komponentinə əsasən PbS birləşməsinin çıxımı təyin olunmuşdur.

PbS nazik təbəqəsinin kimyəvi çökdürmə yolu ilə alınması üçün istifadə olunan məhlul aşağıdakı qaydada hazırlanmış məhlulların hər birindən eyni qədər (həcm ölçüsü ilə) götürməklə alınır: qurğunun asetat Pb(CH₃COO)₂ - 0,07 M; natrium hidroksid (NaOH)-0,3 M; trietanolamin N(CH₂CH₂OH)₃-0,06 M; tiomoçevina (NH₂)₂CS-0,17 M. Kimyəvi çökdürmə prosesi 60 ml-lik laboratoriya stekanının içərisində 40°C-də aparılmışdır⁶. Həmçinin otaq temperaturunda həmin məhlullar eyni miqdarda götürülməklə otaq temperaturunda PbS nazik təbəqəsi və tozu alınmışdır.

Trietanolaminin məhluldakı miqdarının alınan PbS nazik təbəqəsinin xassələrinə təsirlərini aydınlaşdırmaq üçün üç müxtəlif nümunə hazırlanmışdır:

N- trietanolamin məhlulundan 0,06 mol götürməklə hazırlanan nazik təbəqə;

T4- trietanolamin məhlulundan 0,24 mol götürməklə hazırlanan nazik təbəqə;

T0- qarışq məhlulda trietanolaminin iştirak etmədiyi halda alınan nazik təbəqə.

Hər üç halda şüşə üzərində bircins və yaxşı adgeziyaya malik PbS nazik təbəqələri alınmışdır.

PbSe nazik təbəqəsinin kimyəvi çökdürmə yolu ilə 60°C temperaturda alınması üçün istifadə olunan məhlul aşağıdakı qaydada

⁶ Hüseynəliyev, M.H. / Kimyəvi çökdürmə yolu ilə alınmış PbS nazik təbəqələrinin optik xassələrinə trietanolamin komponentinin təsiri / M.H.Hüseynəliyev, S.N.Yasinova, L.N. İbrahimova // AMEA Naxçıvan Böləmisi, "Xəbərlər", 2018, №2, s.254-258.

hazırlanmış məhlulların hər birindən eyni qədər (həcm ölçüsü ilə) götürülməklə alınır: qurğuşun asetat $Pb(CH_3COO)_2$ - 0,07 M; natrium hidroksid ($NaOH$)-0,3 M; trietanolamin $N(CH_2CH_2OH)_3$ -0,06 M; natrium selenosulfat (Na_2SSeO_3)-0,17 M. Məhlula selen komponentinin daxil olunması üçün istifadə olunan natrium selenosulfat məhlulu 0,425 q metal selen tozu və 1,245 q natrium sulfidin 100 ml distillə suyunda $90^{\circ}C$ temperaturda əks soyuducuda 7 saat müddətində qaynadılması yolu ilə alınmışdır⁷.

Bu prosesdən sonra şüşə altlıq üzərində və istifadə olunan laboratoriya stekanının divarlarında tünd qəhvəyi rəngli, yaxşı adgeziyaya malik, bircins, qalınlığı 183,41 nm olan PbSe nazik təbəqəsi alınır⁸.

Həmçinin PbSe nazik təbəqəsi və tozu otaq temperaturunda da həmin məhlullardan eyni miqdarda əlavə etməklə alınmışdır. Nəticədə şüşə üzərində 239,36 nm qalınlığında PbSe nazik təbəqəsi alınır.

PbSe tozuna uyğun ədəbiyyat materiallarından götürülmüş termodinamik parametrlərin entalpiya, entropiya və Gibbs enerjisi qiymətlərindən istifadə etməklə aparılmış reaksiyanın yekun tənliyinə əsasən reaksiyanın termodinamik parametrləri hesablanmışdır. PbSe tozunun kimyəvi və mineralozi tərkibi göstərilmiş, həmçinin qurğuşun yodametrik metodla da təyin edilmişdir.

Kimyəvi çökdürmə üsulu ən çox istifadə olunan və idarə oluna bilən metod hesab edilir. Buna görə də bu metod sadə və səmərəlidir. Ölçüləri idarə olunan və morfolojiyaya görə təhlil edilmə imkanına malik olan nanoölçülü materialların hazırlanması potensial əhəmiyyət kəsb edir. Bundan başqa, nanostrukturlu materiallar fiziki-kimyəvi xassələrinin unikallığına görə geniş tədqiq edilmişlər⁹.

⁷ Luther, J.M. Schottky solar cells based on colloidal nanocrystal films / J.M.Luther, M.Law, M.C.Beard et al. // Nano letters., –2008. T.8, № 10, – p.3488-3492.

⁸ Mehdiyeva, S.I. Spectroscopic ellipsometry study of nanostructured PbSe thin films / S.I.Mehdiyeva, M.H.Huseynaliyev, S.N.Yasinova // International Journal on “Technical and Physical Problems of Engineering” Iss.48, Vol.13, No.3, – September, –2021. IJTPE-2021, –p.95-98.

⁹Nəsimov, E.F. Kimyəvi çökdürmə üsulu ilə ZnSe nano və mikro hissəciklərinin sintezi / E.F.Nəsimov // AJP FİZİKA, –2019. volume XXV, №3, –s.50-54.

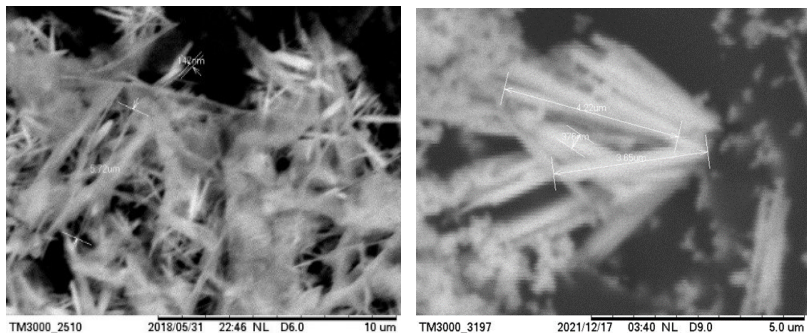
Kimyəvi çökdürmə yolu ilə PbS, PbSe və $PbS_{0,5}Se_{0,5}$ nazik təbəqələri həm trietanolamin komponentli məhlulda, həm də trietanolamin komponentsiz məhlulda, PbS, PbSe və $PbS_{0,5}Se_{0,5}$ nazik təbəqələri otaq temperaturunda, həm də 60°C (PbSe), 50°C ($PbS_{0,5}Se_{0,5}$) və 40°C temperaturda isə (PbS) nazik təbəqələri və tozları alınmışdır.

Bu fəsildə həmçinin tədqiqat obyekti kimi seçilən PbS, PbSe və $PbS_{0,5}Se_{0,5}$ birləşmələrinin ölçmələrində istifadə olunan metodlar şərh olunmuşdur. Birləşmələrin Rentgen spektrleri "D-8 ADVANCE" və Miniflex 600 difraktometrində çəkilmiş, Raman spektrleri *Nanofinder 30* Konfokal Raman mikrospektrometrində (Tokio Instr., Yaponiya) ölçülmüşdü. Həyəcanlandırıcı mənbə kimi dalğa uzunluğu 532 nm və maksimum gücü 10 mVt olan Nd:YAG lazerindən istifadə edilmişdir. Spektral ayırdetmə $0,5 \text{ sm}^{-1}$ -dir. Səpilmiş şüanın detektoru fotonları toplama rejimində işləyən (termoelektrik yolla -100°C temperatura qədər soyudula bilən) CCD kamerası olmuşdur. Raman spektrleri əksolunma həndəsəsində ölçülmüşdür. Alınmış tozşəkilli nümunələrin $20\text{--}800^{\circ}\text{C}$ temperatur intervalında termoqravimetrik analizləri "NETZSCH STA 449 F3" qurğusunda yerinə yetirilmişdir. PbS, PbSe və $PbS_{0,5}Se_{0,5}$ nazik təbəqələrində optik xassələrin tədqiqi diffuz əksolma (otaq temperaturunda) metodu ilə "Nikolet IS-10" və "Vertex 70v" FTIR infraqırmızı spektrofotometrlərində, PbSe nazik təbəqəsinə məxsus difraksiya səpilməsi tədqiqatları isə "D-8 ADVANCE" Rentgen difraktometrində yerinə yetirilmişdir.

Şüşə altlıq üzərində alınmış PbS, PbSe və $PbS_{0,5}Se_{0,5}$ birləşmələrinə məxsus nazik təbəqələrin TM-3000 Hitachi skanedici elektron mikroskopu vasitəsilə morfoloji xüsusiyyətləri araşdırılmış və element analizi aparılmışdır.

Optik ölçmələr "J. A. WOOLLAM COMPANY – M 2000 ELLİPSOMETER" cihazında yerinə yetirilmişdir. Bu cihazla $0.74\text{--}6.45 \text{ eV}$ spektral diapozonda ölçmələr aparmaq mümkündür.

Şəkil 1.-də kimyəvi çökdürmə yolu ilə dördkomponentli məhlulda 60°C temperaturda alınmış PbSe nazik təbəqəsinin və üçkomponentli məhlulda 60°C temperaturda alınmış PbSe tozunun nanostrukturu göstərilmişdir.



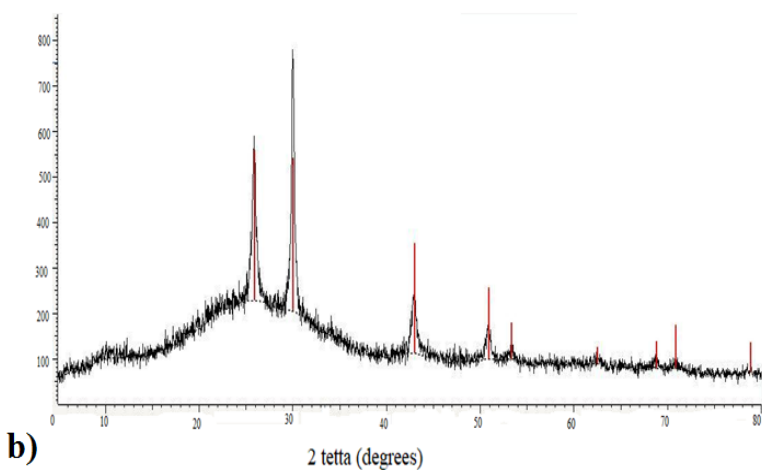
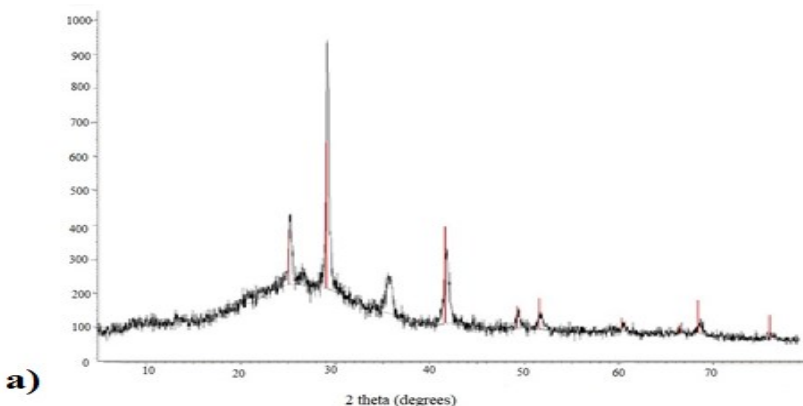
Şəkil 1. Dördkomponentli məhlulda 60°C temperaturda alınmış PbSe nazik təbəqəsinin və üçkomponentli məhlulda 60°C temperaturda alınmış PbSe tozunun nanostrukturları

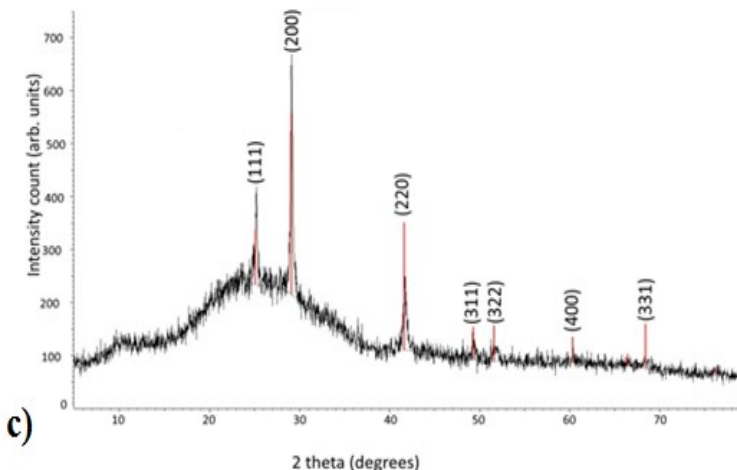
PbSe məhlulunda trietanolamin komponenti olan zaman nanostruktur yalnız PbSe nazik təbəqəsində müşahidə olunur, tozda isə heç bir nanaoquruluş müşahidə olunmur. Kimyəvi çökdürmə yolu ilə PbSe nazik təbəqəsi və tozunun alındığı məhluldan trietanolamin komponentini çıxardıqda PbSe nazik təbəqəsi çox nazik alınır və tozunda isə enləri 376 nm, uzunluqları isə 3-4 mkm olan nanoçubuqlar müşahidə olunur.

**Cədvəl 1
PbS, PbSe və PbS_{0,5}Se_{0,5} tozlarının kimyəvi tərkibi**

| | Pb | S | Se |
|---|---------|---------|---------|
| 40°C temperaturda alınmış PbS tozu | 40,81% | 59,19 % | - |
| Trietanolamin komponenti olmayan məhlulda otaq temperaturunda alınmış PbSe tozu | 68,7% | - | 31,3% |
| Otaq temperaturunda alınmış PbSe tozu | 52,95% | - | 47,05% |
| Otaq temperaturunda alınmış PbS _{0,5} Se _{0,5} tozu | 44,13% | 33,14% | 22,73% |
| Otaq temperaturunda Trietanolamin komponenti olmayan məhlulda alınmış PbS _{0,5} Se _{0,5} tozu | 52,78 % | 25,66 % | 21,56 % |

Dissertasiyanın **Üçüncü fəslində** kimyəvi çökdürmə üsulu ilə alınan qurğusun xalkogenidlərinə (PbSe və PbS) məxsus nazik təbəqələrin quruluş xüsusiyyətlərində baş verən dəyişikliklər və Raman səpilməsinə təsir mexanizmiləri aydınlaşdırılmışdır. PbS, PbSe və PbS_{0.5}Se_{0.5} nazik təbəqələrinin tərkibindəki kristallitlərin ölçüləri Debye-Scherrer düsturu vasitəsilə hesablanmışdır.





Şəkil 2. Otaq temperaturunda kimyəvi çökdürmə üsulu ilə alınan PbSe (a), PbS (b) və $\text{PbS}_{0.5}\text{Se}_{0.5}$ (c) nazik təbəqələrinin Rentgen difraksiya ayrınları

Şəkil 2.-də alınan nəticələrə Debye-Scherrer düsturunu tətbiq edərək PbSe , PbS və $\text{PbS}_{0.5}\text{Se}_{0.5}$ -ə məxsus nanohissəciklərin kristallit ölçüləri hesablanmış və alınan nəticələr **Cədvəl 2.-də** göstərilmişdir.

Cədvəl 2

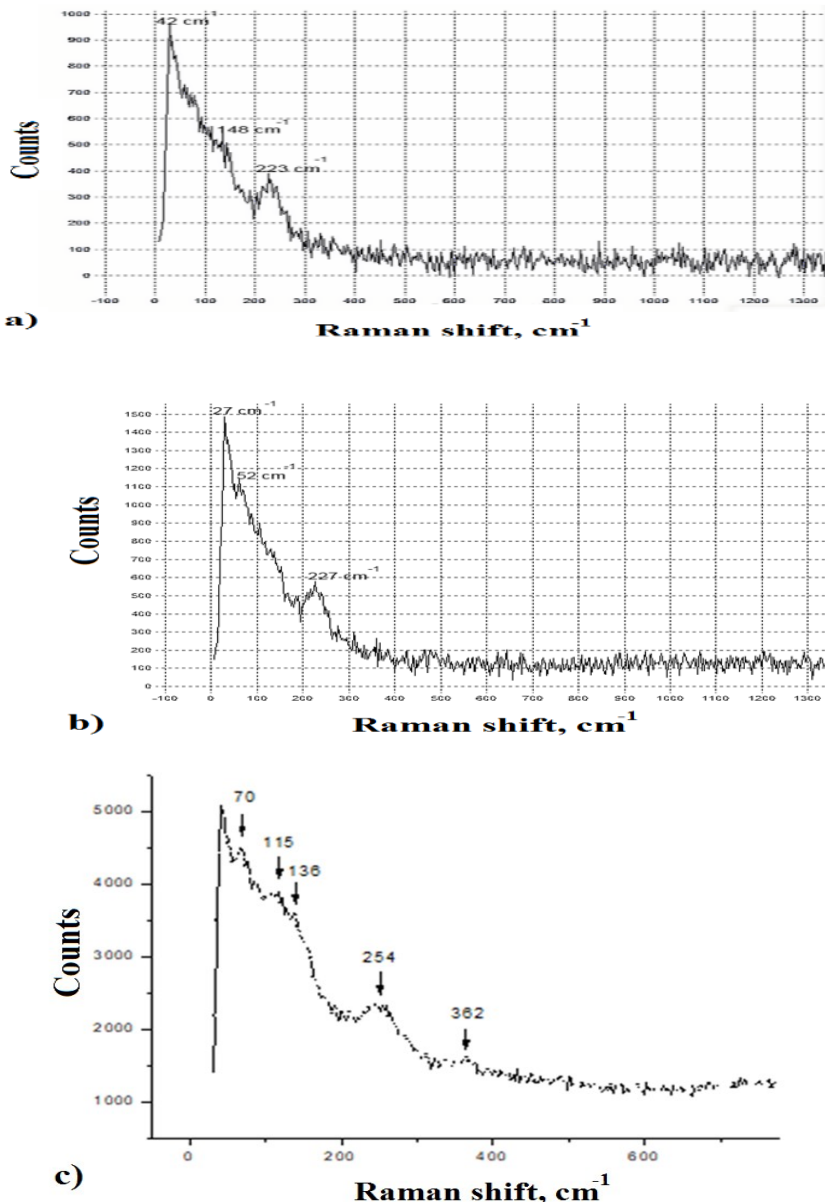
| Parametrlər | PbS | PbSe | $\text{PbSe}_{0.5}\text{S}_{0.5}$ |
|-------------|---------------|---------------|-----------------------------------|
| $2\theta_1$ | $25,91^\circ$ | 25.24° | 25.22° |
| β_1 | 0,67 | 0.55 | 0.44 |
| d_1 | 12,1 nm | 14.8 nm | 18 nm |
| $2\theta_2$ | $29,98^\circ$ | 29.31° | 29.15° |
| β_2 | 0,7 | 0.77 | 0.46 |
| d_2 | 11,7 nm | 10.7 nm | 17.9 nm |
| $2\theta_3$ | $42,98^\circ$ | 35.65° | 41.65° |
| β_3 | 0,61 | 0.72 | 0.45 |
| d_3 | 14,1 nm | 11.6 nm | 30.8 nm |

Səpilmə bucağının (20) Cədvəl 2.-də göstərilən qiymətləri Miller indeksləri müvafiq olaraq (1 1 1), (2 0 0), (2 2 0), (3 1 1), (3 2 2) –ə uyğun müstəvilərdən difraksiya səpilmələrinə uyğun gəlir. Cədvəl 2.-dən göründüyü kimi, PbSe, PbS və PbS_{0,5}Se_{0,5} -nin nazik təbəqələrində aşkar olunan kristallitlərin ölçüləri nanometrlər tətibində olub 10.7 ÷ 30.8 nm intervalında dəyişir. Digər tərəfdən alınan nəticələrdən məlum olur ki, tədqiq olunan maddələri tərkib modifikasiyasına məruz etdikdə nanohissəciklərin kristallit ölçüləri nəzərəçarpan səviyyədə dəyişir. Müəyyən olunmuşdur ki, kükürdüñ (S) selenlə(Se) əvəz olunması (tam nisbətdə) zamanı əsasən səpilmə bucağının (20) qiymətlərinə görə hesablanan kristallitlərin ölçüləri artır. Lakin kükürdüñ(S) selenlə(Se) yarı nisbətdə əvəz olunması səpilmə bucağının (20) bütün qiymətlərinə (20₁, 20₂, 20₃) görə hesablanan kristallit ölçülərini artırır.

İşığın Raman səpilməsi atomlararası rabitələr, fononların xarakteristik tezlikləri, atomlararası güc əmsalları, fonon-fonon, fonon-elektron qarşılıqlı təsirləri haqqında məlumat verir.

Ədəbiyyat mənbələrinin araşdırılması göstərir ki, qurğuşun xalkogenidlərinin həcmi və nanostrukturu nümunələrində tədqiqatçılar işığın Raman səpilməsi üsulunu tətbiq edərək sistemdə fononların enerjisini müəyyən edir və onun maddənin kimyəvi tərkibi, həmçinin strukturunun xüsusiyyətləri ilə bağlılığını göstərirlər.

Tədqiqatların müqayisəli təhlillərindən belə qənaətə gəlinir ki, qurğuşun xalkogenidlərinin (PbSe və PbS) nazik təbəqələrini almaq üçün kimyəvi çökdürmə üsulunu tətbiq edərək məhlulun pH-nı, temperatur və konsentrasiyasını dəyişdirərək, kristalitlərin nano ölçülərini, nazik təbəqələrin qalınlığını, keyfiyyətini, çökəmə sürətini və bunların hesabına alınan maddələrin quruluş və Raman səpilmə xüsusiyyətlərini məqsədyönlü idarə etmək mümkündür.



Şəkil 3. PbSe(a), PbS(b) və $\text{PbS}_{0.5}\text{Se}_{0.5}$ (c) nazik təbəqələrinin Raman spektrləri

Qeyd edək ki, eninə optik fononlarla bağlı olan səpilmə pikinin nisbətən böyük tezliyə (70 sm^{-1}) doğru sürüşməsi nanohissəciklər daxilində kükürd atomlarının nisbi payının artması (selenlə müqayisədə), yəni optik modun kütləsinin (μ) azalmasına səbəb olması ilə əlaqədardır. Raman səpilmə spektrlerinin $\sim 254 \text{ sm}^{-1}$ -də müşahidə olunan maksimumu elmi ədəbiyyatda Se_8 halqalarının mövcudluğu ilə əlaqələndirilir¹⁰. $120 \text{ sm}^{-1} \div 122 \text{ sm}^{-1}$ intervalında müşahidə olunan piklər isə həm eninə, həm də uzununa optik fononların birgə iştirakı olduğu haldəki səpilməni göstərir. Epitaksiya metodu ilə alınan PbS nazik təbəqələri üçün ikiqat eninə optik fononlarla bağlı səpilmə, tezliyin $186 \text{ sm}^{-1} \div 197 \text{ sm}^{-1}$ intervalında müşahidə edilmişdir¹¹. Alınan nümunələrdə nanohissəciklərin ölçülərindən asılı olaraq yuxarıda qeyd olunan səpilmə zolağı zəif müşahidə olunaraq nisbətən yüksək tezliklər oblastına doğru sürüşür ($223 \text{ cm}^{-1} \div 227 \text{ cm}^{-1}$). Beləliklə nəticələr göstərir ki, istər tərkibin modifikasiyası, istərsə də nanohissəcılərin ölçüləri alınan nazik təbəqələrin səthində baş verən fotooksidləşmə proseslərinə və ayrı-ayrı oblastlarda müşahidə olunan səpilmə zolaqlarına ciddi təsir göstərir.

Dördüncü fəsildə tədqiqatlar göstərir ki, qurğunun xalkogenidlərində orta və aşağı yüksəlxqli halların iştirakı olduğu halda yüksəşinma hadisələrinin mexanizmilərinin araşdırılması elmi-nəzəri və praktiki baxımdan xüsusi əhəmiyyət daşıyır. Müəyyən olunmuşdur ki, qurğunun xalkogenidlərində keçirici zona hallarının dolması tamamlanmadığı halda yüksəşinma qonşu nanokristallit laylar arasında tunellənmə və ya sıçrayışlı keçiricilik mexanizmi ilə baş verir. Xüsusiət müəyyən olunmuşdur ki, nanoölçülü kristallitlərin ölçülərindən və onların idarə olunma mexanizmlərindən, qurğunun xalkogenidlərinin nazik təbəqələrinin alınma şəraitindən (kimyəvi çökdürmənin müddətindən,

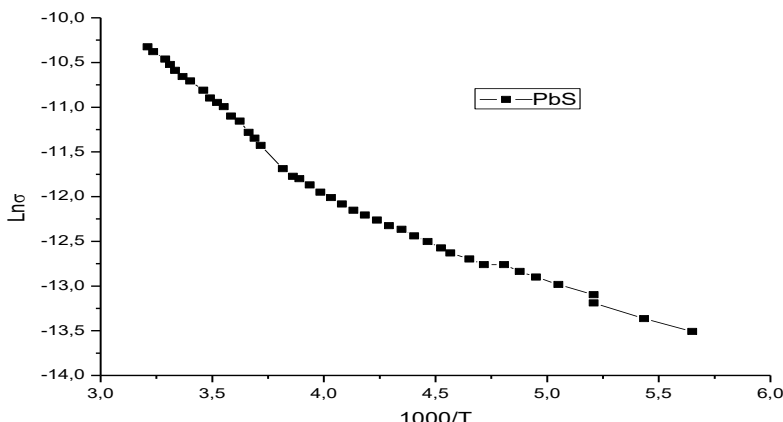
¹⁰ Iovu, M.S. Raman spectra of AsxSe100-x and As40Se60 glasses doped with metals / M.S.Iovu, E.I.Kamitsos, C.P. Varsamis et al. // Chalcogenide Lett, – 2005. –T.2, № 3, –p.21-25.

¹¹ Etchegoin, P.G. Temperature dependent Raman scattering of natural and isotopically substituted PbS / P.G.Etchegoin, M.Cardona, R.Lauck et al. // Physica status solidi (b)., –2008. –T.245, № 6, –p.1125-1132.

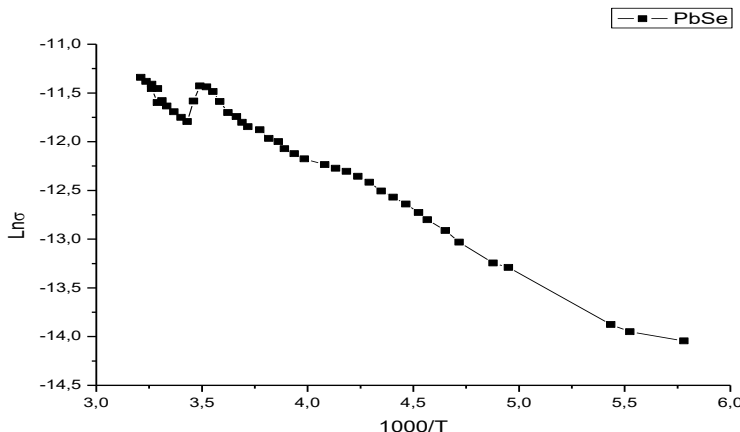
temperaturdan, təzyiqdən, tətbiq olunan katalizatorların və o cümlədən həllədicilərin kimyəvi tərkibi və miqdardan) asılı olaraq tələb olunan keçiricilik xüsusiyyətlərinə malik olan təbəqələr almaq mümkündür ki, bu da təqdim olunan dissertasiyanın əsas istiqamətlərindən biri hesab olunur.

Bələliklə dissertasiyanın təqdim olunan paraqrafında əsas məqsəd kimyəvi çökdürmə üsulu ilə alınan qurğuşun xalkogenidlərinin nazik təbəqələrinin nanoölçülü kristallitlərin ölçülərindən və o cümlədən tərkibə daxil olan xalkogenidlərin miqdardan asılı olaraq keçiricilik xüsusiyyətlərinin dəyişmə mexanizmiləri araşdırılmasıdır. Bu məqsədlə qurğuşun xalkogenidlərinin (PbS , $PbSe$, $PbSSe$) nazik təbəqələrinin elektrik keçiriciliyinin $\sigma(T)$ temperaturdan asılılığı $T=177\div311$ K temperatur intervalında ölçülüş və alınan nəticələr Şəkil 4. və 6-da təsvir olunmuşdur. Elektrik keçiriciliyinin loqarifmik qiymətinin temperaturdan asılılığının ($Ln\sigma$ -nın $1000/T$ -dən asılılığı) xətti qanuna tabe olması göstərir ki, elektrik keçiriciliyinin temperaturdan asılılığı yarımkərinci maddələrə məxsus eksponensial qanunla ifadə oluna bilər.

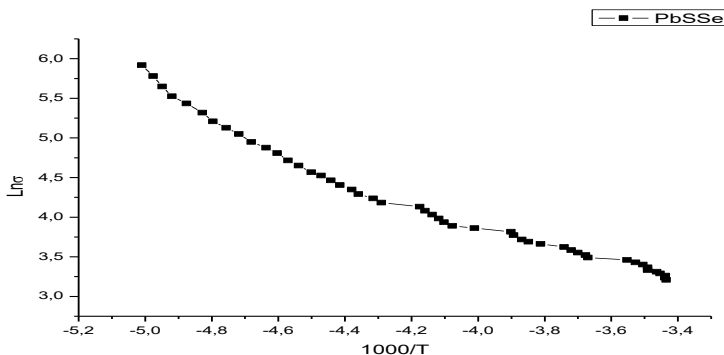
$$\sigma = \sigma_0 \exp(-E_g/kT) \quad (1)$$



Şəkil 4. PbS nazik təbəqəsinin elektrik keçiriciliyinin temperaturdan asılılığı



Şəkil 5. PbSe nazik təbəqəsinin elektrik keçiriciliyinin temperaturdan asılılığı



Şəkil 6. $PbS_{0,5}Se_{0,5}$ nazik təbəqəsinin elektrik keçiriciliyinin temperaturdan asılılığı

(1)-düsturunun loqarifmlənməsi nəticəsində alınan $\ln\sigma$ -nin $1000/T$ -dən asılılığının meyl bucağının $tga\text{-}ni$ bilərək tədqiq olunan maddələrin qadağan zonalarının eni(E_g) təcrübi olaraq təyin edilmiş və alınan nəticələr Cədvəl. 3.-də təsvir edilmişdir. Kimyəvi çökdürmə üsulu ilə alınan qurğuşun xalkogenidlərinin nazik təbəqələrinə məxsus

nanoölçülü kristallitlərin ölçülərindən asılı olaraq qadağan zonalarının eninin təcrübi olaraq təyin edilmiş qiymətlərinin dəyişmə mexanizmilərini müqayisəli təhlil etmək üçün Fəsil 1.-də uyğun tərkiblərin Rentgen difraksiya səpilmə əyrilərindən hesablanan nanoölçülü kristallitlərin ölçülərinə dair nəticələr də Cədvəl 2.-yə daxil edilmişdir. Cədvəl 3.-də β - nümunələrin Rentgen difraksiya səpilmə əyrilərində təsvir olunan kəskin maksimumların yarımeni, θ -isə Breqq əksolma bucağıdır. Yuxarıdakılardan birmənalı olaraq belə nəticəyə gəlmək olur ki, maddələrin tərkib modifikasiyasına məruz edilməsi, yəni kükürdün (S) selenlə (Se) əvəz olunması Lnσ-nın 1000/T-dən asılılığından təyin olunan qadağan zonanın eni və nanohissəciklərin kristallit ölçülərini əhəmiyyətli dəyişir. Qeyd olunan nəticələrin müqayisəli təhlili göstərir ki, kükürdün (S) selenlə (Se) yarı nisbətdə əvəz olunmasının nümunələrin Rentgen difraksiya səpilmə əyrilərində təsvir olunan kəskin maksimumların yarı eninin (β) azalmasına, nanoölçülü kristallitlərin ölçülərinin və qadağan zonanın eninin (Eg) isə artmasına səbəb olur.

Cədvəl 3.

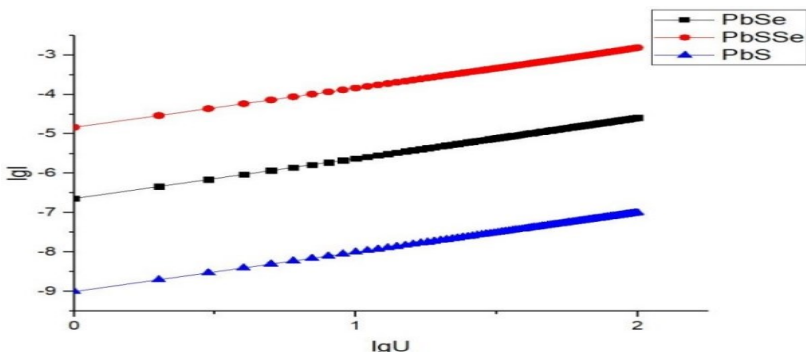
| Parametrlər | PbS | PbSe | PbSe _{0.5} S _{0.5} |
|----------------|----------|----------|--------------------------------------|
| E _g | 0,366 eV | 0,292 eV | 0,39 eV |
| β_1 | 0,67 | 0.55 | 0.44 |
| d ₁ | 12,1 nm | 14.8 nm | 18 nm |
| β_2 | 0,7 | 0.77 | 0.46 |
| d ₂ | 11,7 nm | 10.7 nm | 17.9 nm |
| β_3 | 0,61 | 0.72 | 0.45 |
| d ₃ | 14,1 nm | 11.6 nm | 30.8 nm |

$$E_{A-B} = (E_{A-A} E_{B-B})^{1/2} + 30 (\chi_A - \chi_B)^2 \quad (2)$$

$$KD = 100 \exp\left[-\frac{(\chi_A - \chi_B)^2}{4}\right] \quad (3)$$

Yuxarıda qeyd olunan düsturlarda E_{A-A} və E_{B-B} tərkibə daxil olan atomların (A və B) homopolyar rabitələrinin enerjisi, χ_A və χ_B isə onların elektromənfilikləridir. Qeyd olunan hesablamalar nəticəsində müəyyən olunmuşdur ki, qurğunun xalkogenidlərinin tərkibinə daxil olan Se-Se, Se-S və S-S rabitələrinin enerjisi uyğun olaraq 44 [kcal/mol], 47,4 [kcal/mol] və 50,9 [kcal/mol], heteropolyar Se-S rabitəsinin kovalentlik dərəcəsi isə yüksək olub $KD=99,84\%$ -təşkil edir. Yuxarıda qeyd olunan nəticələri Cədvəl 3.-də təsvir olunan nəticələr ilə müqayisəli təhlil etdikdə belə qənaətə gəlinir ki, qurğunun xalkogenidlərinin tərkibində kükürdlə əlaqəli olan istər homo, istərsə də heteropolyar rabitələrin konsentrasiyasının artması nanoölçülü kristallitlər daxilində orta rabitə enerjisinin və heteropolyar rabitələrin kovalentlik dərəcəsinin artmasına götirəcəkdir. Kimyəvi rabitə əlaqəliliyinin və o cümlədən rabitə uzunluğunun artması nəticəsində nanoölçülü kristallitlərin ölçüsü artır ki, bu da Şəkil 4. və 6. -dakı $Ln\sigma$ -nın $1000/T$ -dən asılılığından təyin olunan qadağan zonaların eninin artmasına götirir.

Şəkil 7.-də PbS, PbSe, $PbS_{0,5}Se_{0,5}$ nazik təbəqələrinin loqarifmik miqyasda Volt-Amper xarakteristikası təsvir olunmuşdur.



Şəkil 7. Kimyəvi çökdürmə yolu ilə alınmış PbS, PbSe, $PbS_{0,5}Se_{0,5}$ nazik təbəqələrinin Volt-Amper xarakteristikaları

Şəkil 7.-dən də göründüyü kimi bu birləşmələrin Volt-Amper xarakteristikaları xətti (Omkı) qanunla dəyişir ($I \sim U$).

PbS, PbSe, $\text{PbS}_{0,5}\text{Se}_{0,5}$ nazik təbəqələrin müqavimətləri uyğun olaraq aşağıdakı kimi olmuşdur.

$$R_{\text{PbS}} = 10^9 \text{ Om}$$

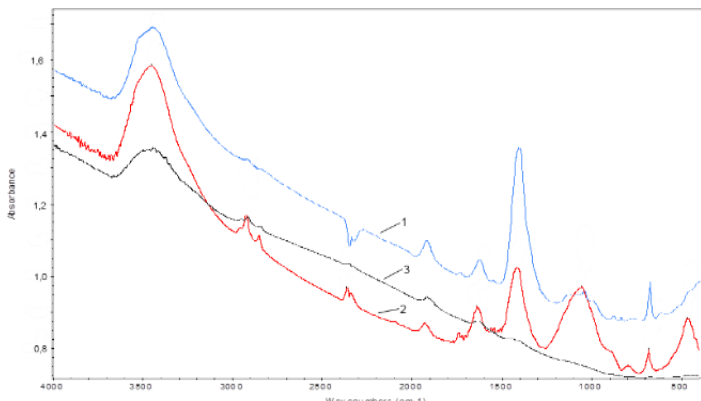
$$R_{\text{PbSe}} = 4 \cdot 10^6 \text{ Om}$$

$$R_{\text{PbSSe}} = 6,7 \cdot 10^4 \text{ Om}$$

Dissertasiyanın **Beşinci fəslində** PbS, PbSe və $\text{PbS}_{0,5}\text{Se}_{0,5}$ nazik təbəqələrinin udma spektrləri verilmiş, kimyəvi çökdürmə prosesində məhlulda trietanolaminin miqdarını dəyişdikdə alınmış PbS nazik təbəqələrinin optik xassələri müqayisəli şəkildə təhlil olunmuşdur.

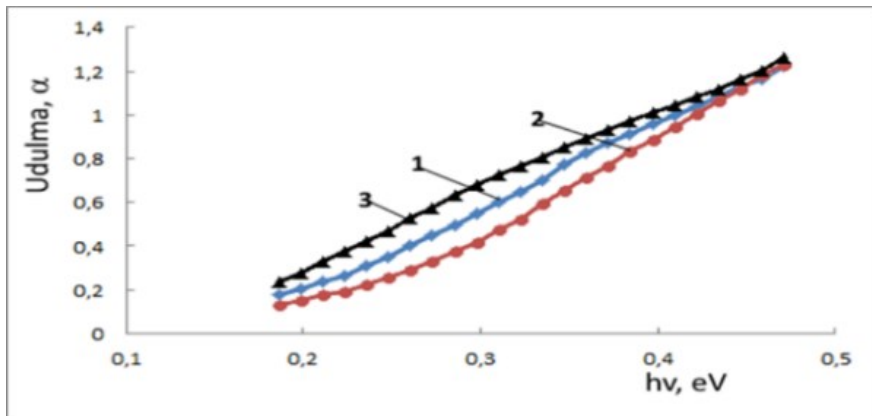
Hər üç birləşmənin $(\alpha h\nu)^2 \sim f(h\nu)$ asılılıqları qurularaq, Taus düsturu vasitəsilə PbS, PbSe və $\text{PbS}_{0,5}\text{Se}_{0,5}$ nazik təbəqələrinin qadağan zonalarının eni müəyyən edilmişdir.

Şəkil 8.-də kimyəvi çökdürmə üsulu ilə alınmış T4, N və T0 (şəkildə uyğun olaraq 1, 2 və 3 ilə işarələnmişdir) PbS nazik təbəqələrinin infraqırmızı spektr oblastında mövcud olan funksional qrupların pikləri fonunda optik udma spektrləri göstərilmişdir (T4- trietanolamin məhlulunun 0,24 M, N- trietanolamin məhlulunun 0,06 M və T0- qarışq məhlulda trietanolaminin iştirak etmədiyi halda alınan nazik təbəqələr).



Şəkil 8. T4 (1), N (2), T0 (3) PbS nazik təbəqələrinin optik udma spektrləri (İK)

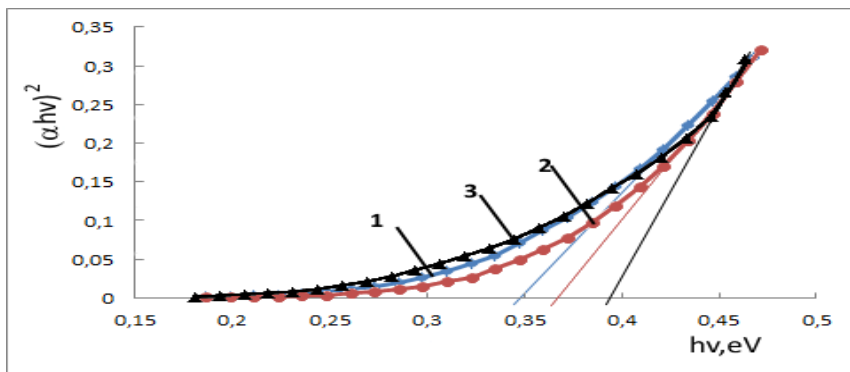
Bu piklərin fonundan yalnız PbS birləşmələrinə aid olan udulma ayırd edildikdən sonra PbS nazik təbəqələri üçün $\alpha(\hbar\nu)$ asılılıqları qurulmuşdur (şəkil 9.)



Şəkil 9. T4 (1), N (2), T0 (3) PbS nazik təbəqələrinin spektrin infraqırmızı oblastında mövcud olan funksional qrupların piklərin fonundan alınmış optik udma spektrləri

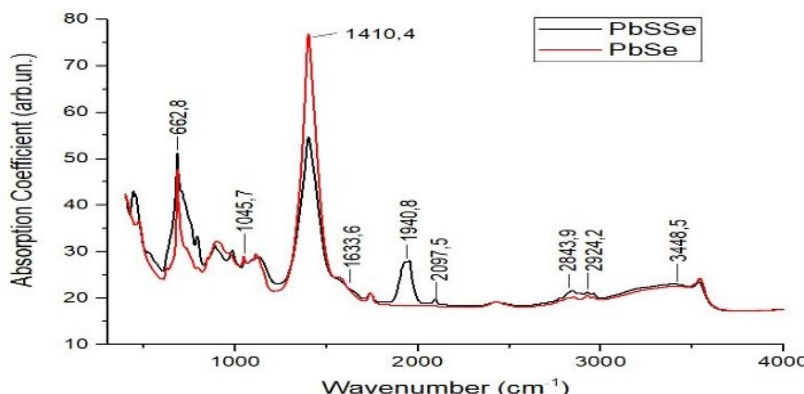
PbS düzzonallı yarımkənarıcı olduğundan¹² bu birləşmə üçün $(\alpha h\nu)^{1/n} = A(h\nu - E_g)$ düsturundan $n = \frac{1}{2}$ münasibəti doğrudur. Bu birləşmənin qadağan zonasının enini tapmaq üçün $(\alpha h\nu)^2$ -nın $\hbar\nu$ -dən asılılıq əyriləri qurulmuşdur (şəkil 10.). Bu əyrilərdən düz xətt oblastının absis ($\hbar\nu$) oxu ilə kəsişməsinə əsasən T4 (1), N (2), T0 (3) nazik təbəqələrinin qadağan zonalarının eni müəyyən edilmişdir.

¹² Valenzuela-Jauregui, J.J. Optical properties of PbS thin films chemically deposited at different temperatures / J.J. Valenzuela-Jauregui, R.Ramirez-Bon, A. Mendoza-Galvan et al. // Thin Solid Films, –2003. –T.441, № 1-2, – p. 104-110.



Şəkil 10. T4 (1), N (2), T0 (3) PbS nazik təbəqələrinin hesablanmış $(\alpha \hbar v)^2 \sim f(\hbar v)$ asılılıqları

Bu qiymətlər uyğun olaraq $E(T4)=0,347$ eV, $E(N)=0,366$ eV və $E(T0)=0,392$ eV olmuşdur.



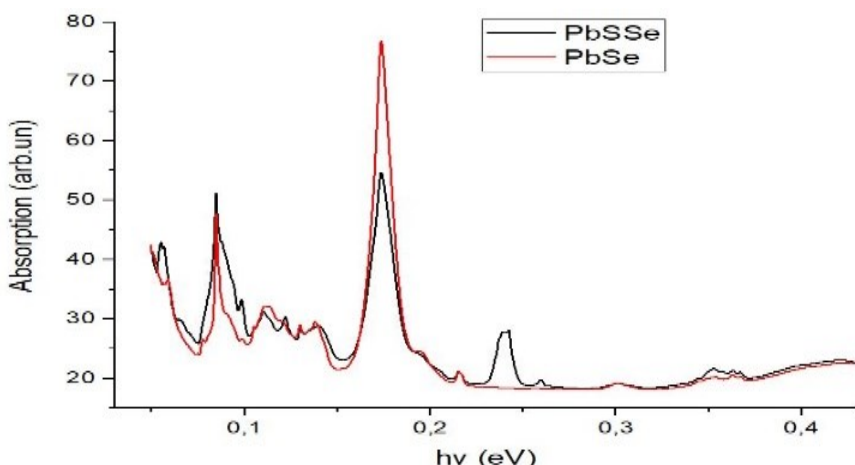
Şəkil 11. 300 K-də alınan PbSe və $PbS_{0,5}Se_{0,5}$ nazik təbəqələrinin spektrin infraqırmızı oblastında mövcud olan funksional qrupların pikləri fonunda optik udma spektrləri

Məlum olduğu kimi spektrin infraqırmızı oblastında bir sıra funksional qrupların mövcüdluğu udma spektrində müəyyən piklərin ortaya çıxmasına səbəb olur. Şəkildən göründüyü kimi hər iki asılılıqda demək olar ki, eyni funksional qruplar müşahidə olunur. Büyük enerjilər oblastında aşkar şəkildə müşahidə olunan 3448,5

cm^{-1} -ə uyğun pik PbSe və PbSSe nazik təbəqələr tərəfindən udulan suyun O-H grupuna uyğundur və suyun səth tərəfindən udulması faktı həm də bu qrupun $1633,6 \text{ cm}^{-1}$ -ə uyğun pikin olması ilə təsdiq olunmuşdur. $1410,4 \text{ cm}^{-1}$ ətrafında müşahidə edilən intensiv pik prosesdə istifadə edilən metanolun CH_3 rəqsləri hesabına ortaya çıxır. Bu fikir həm də $2924,2 \text{ cm}^{-1}$ və $2843,9 \text{ cm}^{-1}$ qiymətlərində metanolun CH_3 rəqslərinə aid piklərin olması ilə təsdiq olunmuşdur. Metanol qrupunun C-O rəqsləri intensiv $1045,7 \text{ cm}^{-1}$ pikini verir.

Lakin bu iki nazik təbəqənin udulma spektrləri arasında müəyyən bir fərqli olduğunda nəzərə çarpır. Belə ki, $\text{PbS}_{0,5}\text{Se}_{0,5}$ üçün $1940,8 \text{ cm}^{-1}$ -də müşahidə olunan kifayət qədər intensiv pik və ona yaxın olan $2097,5 \text{ cm}^{-1}$ -dəki pik PbSe-də müşahidə olunmur. Qeyd etmək lazımdır ki, bu iki pik PbS birləşmələrində də müşahidə edilmişdir və çox güman ki, kükürd komponenti ilə əlaqədardır.

Bu piklərin fonunda PbSe və $\text{PbS}_{0,5}\text{Se}_{0,5}$ nazik təbəqələrinin $\alpha(\hbar\nu)$ asılılıqları qurulmuşdur (**Şəkil 12.**)

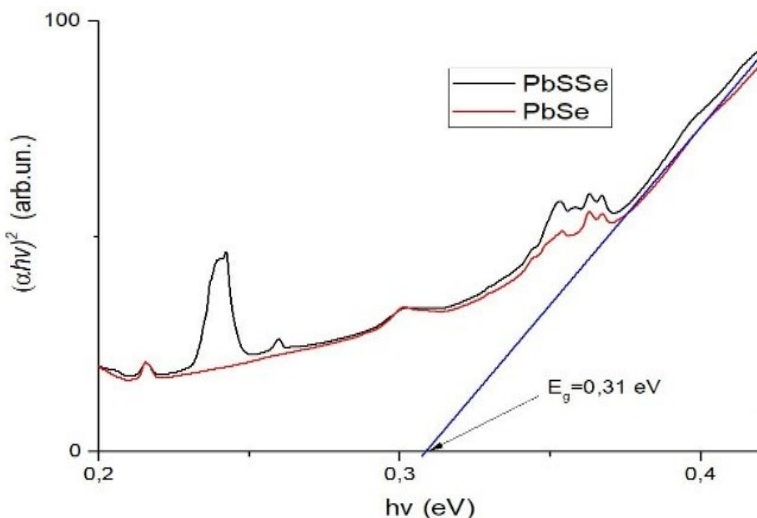


Şəkil 12. PbSe və $\text{PbS}_{0,5}\text{Se}_{0,5}$ nazik təbəqələrinin spektrin infraqırmızı oblastında mövcud olan funksional qrupların pikləri fonunda $\alpha(\hbar\nu)$ asılılıqları

Taus düsturundan istifadə edərək belə nəticəyə gəlinir ki, PbS və PbSe düzzonallı yarımkeçiricilər olduğundan¹³ bu birləşmələr və PbS_{0,5}Se_{0,5} nazik təbəqələr üçün $n = \frac{1}{2}$ münasibəti doğrudur.

Bu birləşmələrin qadağan zonasının enini tapmaq üçün $(\alpha h\nu)^2$ -nın $\hbar\nu$ -dən asılılıq əyriləri qurulmuşdur (şəkil 13.).

Mövcud olan funksional qrupların pikləri nəzərə alınmazsa bu asılılıqlar demək olar ki, tamamilə üst-üstə düşürlər.



Şəkil 13. Otaq temperaturunda alınmış PbS_{0,5}Se_{0,5} və PbSe nazik təbəqələrinin $(\alpha h\nu)^2 \sim f(\hbar\nu)$ asılılıqları

Bu asılılıqlardan düz xətt oblastının absis ($\hbar\nu$) oxu ilə kəsişməsinə əsasən müəyyən edilmişdir ki, kimyəvi çökdürmə yolu ilə otaq temperaturunda alınmış PbSe və PbS_{0,5}Se_{0,5} nazik təbəqələrinin qadağan zonalarının eni eyni olub $E_g = 0,31$ eV-dur.

Bu fəsiildə həmçinin PbSe və PbS_{0,5}Se_{0,5} nazik təbəqələrinin ellipsometriya metodu ilə optik ölçmələrinin nəticələri şərh olunur. Zonalararası keçidlərin strukturunu daha yaxşı ayırd etmək və kritik

¹³ Tsai, W.T. Environmental risk assessment of hydrofluoroethers (HFEs) / W.T. Tsai// Journal of hazardous materials, –2005. –T.119, №1-3, –p.69-78.

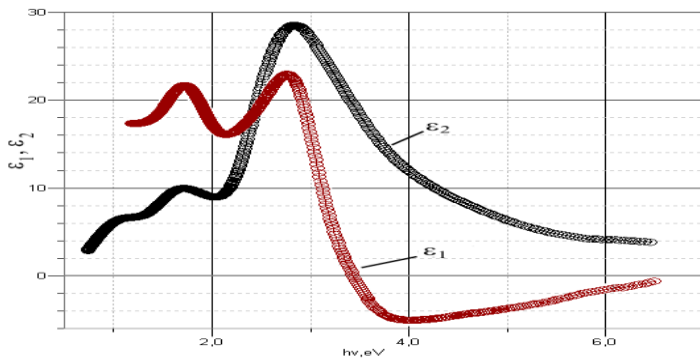
nöqtələri təyin etmək üçün dielektrik funksiyasının eksperimental qiymətlərinin diferensiallanmasından istifadə edilmişdir. Nəzəri fitting prosesi "Graphical Analysis" programı vasitəsilə yerinə yetirilmişdir. Hər iki nazik təbəqə üçün kompleks dielektrik funksiyanın həqiqi və xəyalı hissələrinin birinci və ikinci tərtib törəmələrinin spektral asılılıqları qurulmuşdur. PbSe və $PbS_{0,5}Se_{0,5}$ nazik təbəqələri üçün fitting edilərək mövcud ədəbiyyata uyğun kritik nöqtələr təyin edilmişdir. PbS, PbSe və $PbS_{0,5}Se_{0,5}$ nümunələrində spektrin infraqırmızı oblastında müşahidə olunan müxtəlif qruplar tezliklərə uyğun piklərin aid olduqları funksional tapılmışdır.

Ellipsometrik ölçmələrin nəticəsi olaraq alınan kompleks dielektrik funksiyasının $\varepsilon(\omega)$ enerjidən asılılığının eksperimental qiymətləri onun həqiqi və xəyalı hissələrinin enerjidən asılılığının koordinatları şəklində verilir. Bu koordinatlara əsasən "Graphical Analysis" programından istifadə etməklə, kompleks dielektrik funksiyasının həqiqi və xəyalı hissələrinin enerjidən asılılıq qrafikləri qurulur.

Bu asılılıqların və ya onların müəyyən oblastlarının maksimal dərəcədə nəzəriyyənin verdiyi analitik ifadəyə uyğunluğunu araşdırmaq üçün onların ikinci tərtib törəmələrindən istifadə olunur ki, bu proseslər bütünlükə "Graphical Analysis" programı vasitəsilə yerinə yetirilir. Nəticədə bu funksiyalara daxil olan sabitlər (4 sabit) təyin olunur. Bu sabitlərdən biri də E -kritik nöqtədir ki, bu da yarımkəcərıcılar nəzəriyyəsi üçün çox mühüm kəmiyyətdir.

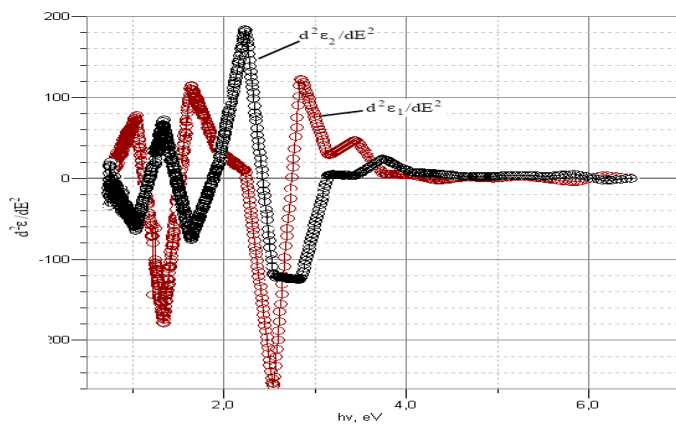
Əlbəttə, həqiqi və xəyalı hissələrin ikinci tərtib törəmələri üzərində fitting prosesini yerinə yetirmək sadəcə olaraq iki ayrıca asılılıq üzərində fitting aparmaq və hər biri üçün ayrıca 4 sabit tapmaq demək deyil. Bu iki funksiya eyni bir kompleks kəmiyyətin həqiqi və xəyalı hissələri olduqlarından fitting prosesində onlar üçün axtarılan 4 sabit də eyni olmalıdır.

Nanostrukturlu PbSe nazik təbəqəsi üçün ellipsometrik ölçmələr otaq temperaturunda 60^0 bucaq altında yerinə yetirilmişdir.



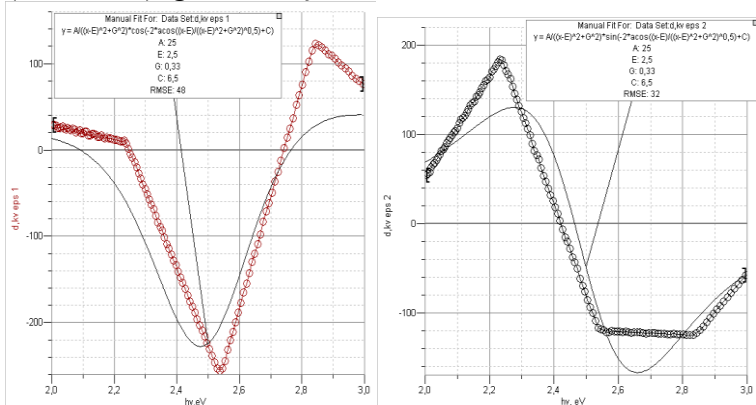
Şəkil 14. Nanostrukturlu PbSe nazik təbəqəsinin kompleks dielektrik funksiyasının $\varepsilon_1(\omega)$ -həqiqi və $\varepsilon_2(\omega)$ -xəyalı hissələrinin spektral asılılıqları

Nəzəri asılılığa fittinqi yerinə yetirmək üçün eksperimental $\varepsilon_1(\omega)$ və $\varepsilon_2(\omega)$ asılılıqlarının "Graphical analisys" programında ikinci tərtib $d^2\varepsilon_1(\omega)/d\omega^2$ və $d^2\varepsilon_2(\omega)/d\omega^2$ törəmələri alınmış və onların enerjidən asılılıq qrafikləri qurulmuşdur (şəkil 15.).



Şəkil 15. Nanostrukturlu PbSe nazik təbəqəsində kompleks dielektrik funksiyasının ikinci tərtib törəməsinin $d^2\varepsilon_1(\omega)/d\omega^2$ -həqiqi və $d^2\varepsilon_2(\omega)/d\omega^2$ -xəyalı hissələrinin spektral asılılıqları

16.-ci şəkildə 2-3 eV aralığında $\varepsilon(\omega)$ kompleks dielektrik funksiyasının həqiqi $\varepsilon_1(\omega)$ və xəyali $\varepsilon_2(\omega)$ eksperimental qiymətlərinin differensiallanmasından alınan $d^2\varepsilon_1(\omega)/d\omega^2$ və $d^2\varepsilon_2(\omega)/d\omega^2$ kəmiyyətlərinin enerjidən asılılıq spektrləri (nöqtələr) göstərilmişdir. Burada həmçinin, "Graphical analysis" programı əsasında (6) ifadəsindən alınan nəzəri fitting əyriləri (bütöv xətt) göstərilmişdir.

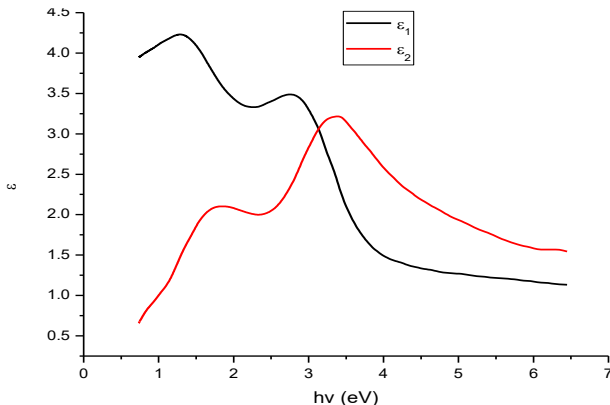


Şəkil 16. PbSe nazik təbəqəsinin 2÷3 eV enerji oblastı üçün $\varepsilon_1(\omega)$ və $\varepsilon_2(\omega)$ eksperimental asılılıqlarının "Graphical analysis" programı əsasında qurulmuş ikinci tərtib törəmələri və ən yaxşı fitting əyriləri

Ən yaxşı fitting halı nəzəri ifadəyə daxil olan sabitlərin $A=25$, $E=2,5$, $\Gamma=0,33$ və $\theta=0,5$ qiymətlərində alınmışdır. Fitting nəticəsində PbSe nazik təbəqəsi üçün kritik nöqtə olaraq tapılan $E=2,5$ eV qiyməti ədəbiyyatda nəzəri olaraq hesablanmış $E=2,3$ eV qiymətinə çox yaxındır və kritik nöqtənin $m=0$ ikiölçülü (2D) halına və $L_4 \rightarrow L_6$ keçidinə uyğundur¹⁴.

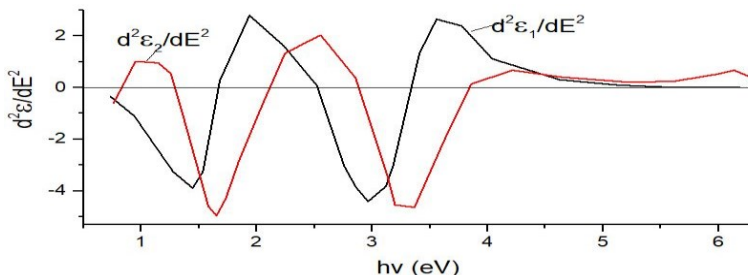
¹⁴ Кабышев, А.В., Конусов, Ф.В., Ложников, С.Н. и др. Осаждение пленок арсенида галлия на кремни импульсной ионной абляцией и их свойства // 9-ая Международная конференция «Взаимодействие излучений с твердым телом», –20-22 сентября –2011 г., Минск, Беларусь, –с.306-309.

Şəkil 17.-də PbS_{0,5}Se_{0,5} nazik təbəqəsinin kompleks dielektrik funksiyasının ellipsometrik ölçmələr nəticəsində 700-dən çox nöqtənin koordinatı şəklində verilmiş $\varepsilon_1(\omega)$ və $\varepsilon_2(\omega)$ spektral asılılıqları göstərilmişdir.



Şəkil 17. PbS_{0,5}Se_{0,5} nazik təbəqəsinin kompleks dielektrik funksiyasının $\varepsilon_1(\omega)$ -həqiqi və $\varepsilon_2(\omega)$ -xəyali hissələrinin spektral asılılıqları

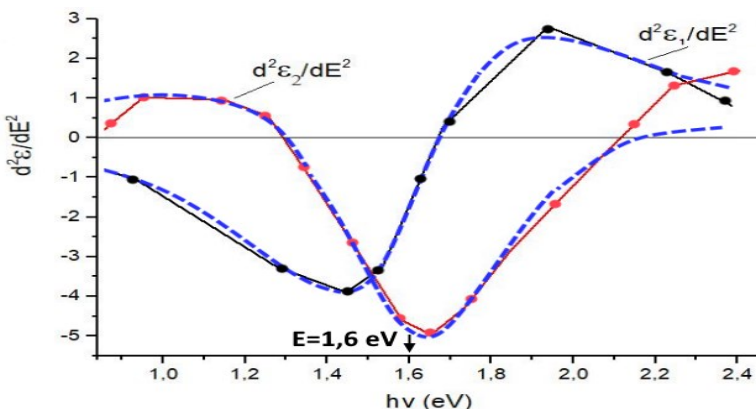
Nəzəri asılılıqda fittinqi yerinə yetirmək üçün eksperimental $\varepsilon_1(\omega)$ və $\varepsilon_2(\omega)$ asılılıqlarının ikinci tərtib $d^2\varepsilon_1(\omega)/d\omega^2$ və $d^2\varepsilon_2(\omega)/d\omega^2$ törəmələri alınmış və onların enerjidən asılılıq qrafikləri qurulmuşdur (şəkil 18.).



Şəkil 18. PbS_{0,5}Se_{0,5} nazik təbəqəsinin kompleks dielektrik funksiyasının $d^2\varepsilon_1(\omega)/d\omega^2$ -həqiqi və $d^2\varepsilon_2(\omega)/d\omega^2$ -xəyali hissələrinin ikinci tərtib törəmələrinin spektral asılılıqları

Bu asılılıqlara diqqətlə baxdıqda $E=0,9\div2,4$ eV və $E=2,5\div3,8$ eV aralıqlarında fitting aparmağın mümkün olduğunu görmək olar. Çünkü $d^2\varepsilon_2(\omega)/d\omega^2$ və $d^2\varepsilon_1(\omega)/d\omega^2$ asılılıqları uyğun olaraq eyni bir kompleks funksiyanın xəyalı və həqiqi hissələri olduqlarından onların dəyişmə qanunlarında sinus və kosinus münasibətləri gözlənilməlidir, yəni $d^2\varepsilon_2(\omega)/d\omega^2$ asılılığı $d^2\varepsilon_1(\omega)/d\omega^2$ asılılığını $\pi/2$ qədər qabaqlamalıdır, bu şərt isə həmin aralıqlarda ödənilir.

“Graphical analisys” programında yerinə yetirilmiş fitting nəticəsində $E=0,9\div2,4$ eV oblastı üçün ən yaxşı fitting halı 2D formalı kritik nöqtə halına ($m=0$) uyğun olmuşdur (şəkil 19.).



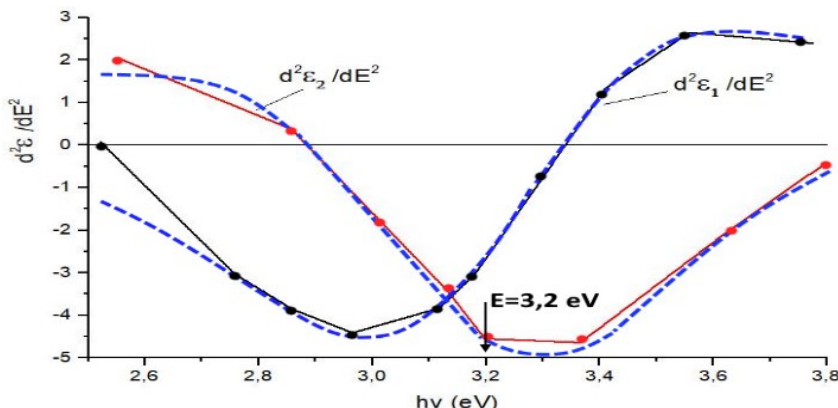
Şəkil 19. $\text{PbS}_{0,5}\text{Se}_{0,5}$ nazik təbəqəsinin $E=0,9\div2,4$ eV enerji oblastı üçün $\varepsilon_1(\omega)$ və $\varepsilon_2(\omega)$ eksperimental asılılıqların “Graphical analysis” programı əsasında qurulmuş ikinci tərtib törəmələri (nöqtələr) və ən yaxşı fitting əyriləri (qırıq xətlər)

Bu oblast üçün analitik funksiyanın sabitləri üçün aşağıdakı qiymətlər alınmışdır: $A=0,89$; $E=1,6$ eV; $\Gamma=0,42$; $\theta=1,22$. RMSE xətaları $d^2\varepsilon_1(\omega)/d\omega^2$ üçün 0,202, $d^2\varepsilon_2(\omega)/d\omega^2$ üçün isə 0,846 olmuşdur.

$\text{PbS}_{0,5}\text{Se}_{0,5}$ nazik təbəqələrinin zona quruluşunda kritik nöqtənin $E=1,6$ eV enerji halına bərabər olan bu qiyməti istər PbS ,

istərsə də PbSe birləşmələri üçün nəzəri olaraq hesablanmış qiymətləri ilə tamamilə üst-üstə düşür [15 c.127], və bu birləşmələrdə kritik nöqtənin bu qiyməti $L_5 \rightarrow L_7$ keçidi kimi xarakterizə olunmuşdur. Deməli, PbSSe nazik təbəqələrində kritik nöqtənin $E=1,6$ eV qiyməti də $L_5 \rightarrow L_7$ keçidi hesabına yaranır.

$E=2,5 \div 3,8$ eV oblastı üçün ən yaxşı fitting halı 1D formalı ($m = -\frac{1}{2}$) kritik nöqtə halına aid olmuşdur (şəkil 18.) və bu oblastda analitik funksiyanın sabitləri üçün alınan qiymətlər aşağıdakı kimidir: $A=2,5$; $E=3,2$ eV; $\Gamma=0,66$; $\theta=5$. RMSE xətaları $d^2\varepsilon_1(\omega)/d\omega^2$ üçün 0,625, $d^2\varepsilon_2(\omega)/d\omega^2$ üçün isə 0,345 olmuşdur.



Şəkil 20. $\text{PbS}_{0,5}\text{Se}_{0,5}$ nazik təbəqəsinin $E=2,5 \div 3,8$ eV enerji oblastı üçün $\varepsilon_1(\omega)$ və $\varepsilon_2(\omega)$ eksperimental asılılıqlarının "Graphical analysis" programı əsasında qurulmuş ikinci tərtib törəmələri (nöqtələr) və ən yaxşı fitting əyriləri (qırıq xətlər)

Ədəbiyyat məlumatları və nəzəri hesablamalara əsasən PbS və PbSe -də M2 halına uyğun olan enerjinin $E=3,5$ eV və $E=2,9$ eV qiymətləri müəyyən edilərək göstərilmişdir ki, bu qiymətlər $\Delta_5 \rightarrow \Delta_6$ keçidinə uyğun gəlir¹⁴.

ƏSAS NƏTİCƏLƏR

1. Məhlulda trietanolaminin miqdarından və temperaturdan asılı olaraq kimyəvi çökdürmə üsulu ilə qurğunun xalkogenidlərinin (PbS , $PbSe$ və $PbS_{0,5}Se_{0,5}$) nazik təbəqələrinin alınma texnologiyası işlənilərə hazırlanmış və mikroskopik tədqiqatlar nəticəsində nümunələrdə optimal ölçüləri $L \sim 5 \div 6$ mkm, $d \sim 150 \div 376$ nm olan nanoçubuqların mövcüdluğu aşkar olunmuşdur.

2. Ellipsometrik spektroskopiya metodu ilə PbS , $PbSe$ və $PbS_{0,5}Se_{0,5}$ -də dielektrik əmsalının həqiqi, xeyali hissələri ölçülmüş və "Graphical analysis" programının köməyi ilə kritik nöqtələrin analizi aparılaraq göstərilmişdir ki, ən yaxşı fitting $2 \div 3$ eV intervalında ikiölçülü (2D) tip kritik nöqtədə ($m=0$) baş verir. Kritik nöqtəyə uyğun təcrubi təyin olunan enerjinin $E \sim 2,38$ eV qiyməti nəzəri hesablama ilə alınan $E \sim 2,30$ eV-a yaxın olub, Brüllen zonasının $L_4 \rightarrow L_6$ keçidinə uyğundur.

3. Müəyyən olunmuşdur ki, PbS , $PbSe$ və $PbS_{0,5}Se_{0,5}$ nazik təbəqələrinə məxsus rentgen difraksiya spektrlərində 2θ bucaqları üst-üstə düşür. PbS -də isə bu nisbətən kiçik bucaqlar tərəfə yerinin dəyişir. $PbS_{0,5}Se_{0,5}$ ilə PbS -in (111) müstəvilərindən əksolmaya uyğun piklərin bucaqları arasındaki fərq $2\theta = 0,9^\circ$ olduğu halda, bucaqlar böyüdükcə bu fərq tədricən artaraq (422) müstəvilərindən əksolma üçün $2\theta = 3^\circ$ olmuşdur.

4. Göstərimişdir ki, $PbSe$ -nin Raman səpilmə spektrinin 135 sm^{-1} və $47,6$ sm^{-1} tezliklərində müşahidə olunan piklər uzununa və eninə optik fononlarla, 42 $sm^{-1} \div 52$ sm^{-1} tezliklərdə isə (111) müstəvisində səpilmə baxımından Raman aktiv eninə optik fononlarla izah olunur.

Selenin kükürdlə yarı əvəzlənməsi nəticəsində Raman səpilmə spektrində qeyd olunan piklərin nisbətən böyük tezliklərə (70 sm^{-1}) doğru sürüşməsi (111) müstəvisində səpilməyə zəmin yaradan nanohissəciklərin kristalit ölçülərinin artması ilə bağlıdır. Bununla yanaşı kükürd atomlarının kimyəvi aktivliyi və rabitə enerjisinin yüksək olması səbəbindən nanohissəciklər daxilində rabitə əlaqəliliyi güclənir, nəticədə elastiklik qüvvə sabiti (k) artdığından molekulyar quruluş modelinə əsasən Raman aktiv rəqs modlarının

tezliyi artır ki, bu da eninə optik fononlarla bağlı olan səpilmə pikinin nisbətən böyük tezliklərə doğru sürüşməsi ilə nəticələnir.

5. Göstərilmişdir ki, $PbS_{0,5}Se_{0,5}$ nümunələrinə məxsus Raman səpilmə spektrində müşahidə olunan $\sim 254\text{ sm}^{-1}$ -tezliyinə uyğun maksimum Se_8 halqalarının virtual rəqs hallarından, tezlikləri $120\text{ sm}^{-1} \div 122\text{ sm}^{-1}$ intervalında müşahidə olunan piklər isə eninə və uzununa fononların birgə iştirakı ilə baş verən rəqslərdən səpilmə ilə əlaqədardır.

6. Müəyyən olunmuşdur ki, selenin küküdlə yarı əvəzlənməsi nəticəsində nanohissəciklərin ölçülərinin böyüməsi ilə bərabər, kükürd atomlarının kimyəvi aktivliyi və rabitə enerjisinin yüksək olması səbəbindən nanohissəciklər daxilində rabitə əlaqəliliyi və elastilik qüvvə sabiti (k) güclənir ki, bu da Raman aktiv rəqs modlarının tezliyinin ($42\text{ sm}^{-1} \div 70\text{ sm}^{-1}$ -ə qədər) artmasına götərir.

7. Müəyyən olunmuşdur ki, qurğuşun xalkogenidlərinin tərkibində kükürd əlaqəli homo və heteropolyar rabitələrin konsentrasiyasının artması nanoölçülü kristallitlər daxilində orta rabitə enerjisinin, heteropolyar rabitələrin kovalentlik dərəcəsinin, kimyəvi rabitə əlaqəliliyinin, rabitə uzunluğunun, nanoölçülü kristallitlərin ölçüsünün ($d=10.7\text{ nm} \div 30.8\text{ nm}$) və o cümlədən qadağan zonanın eninin ($E_g=0,292\text{ eV} \div 0,39\text{ eV}$) artmasına götərir.

8. Göstərilmişdir ki, kimyəvi çökdürmə üsulu ilə alınan PbS , $PbSe$ və $PbS_{0,5}Se_{0,5}$ nanohissəcikli nazik təbəqələr spektrin orta infraqırmızı oblastında nisbətən zəif udulma əmsalına malik olduğundan passiv fiber ötürüclərdə tətbiq imkanlarına malikdir.

Dissertasiyanın mövzusu üzrə dərc olunmuş işlərin siyahısı

1. Hüseynəliyev M.H.Kimyəvi çökdürmə yolu ilə alınmış PbS nazik təbəqələrinin optik xassələrinə trietanolamin komponentinin təsiri / M.H.Hüseynəliyev, S.N.Yasinova, L.N.İbrahimova // AMEA Naxçıvan Bölməsi, "Xəbərlər", 2018, ISSN 2218-4791, №2, s.254-258.
2. Hüseynəliyev M.H. Kimyəvi çökdürmə yolu ilə alınmış

qurğusun selenid nazik təbəqələrinin optik xassələri / M.H.Hüseynəliyev, S.N. Yasinova // Naxçıvan Dövlət Universiteti, Elmi əsərlər, 2018, №7, ISSN 2223-5124, s.127-131.

3. Mehdiyeva S.İ. Ellipsometrik ölçmələrdən PbSSe nazik təbəqəsinin kritik nöqtələrinin təyini/ S.İ.Mehdiyeva, H.S.Seyidli, M.H. Hüseynəliyev,S.N.Yasinova //AMEA, Xəbərlər, 2023, ISSN 2304-7453, №5, section:Az. s. 8-15.
4. Hüseynəliyev M.H. Kimyəvi çökdürmə yolu ilə alınmış $PbS_{0,5}Se_{0,5}$ nazik təbəqəsində fotokeçiriciliyin tədqiqi / M.H.Hüseynəliyev, S.N.Yasinova // AMEA Naxçıvan Böləsi, Elmi əsərlər, 2022, ISSN 2218-4791№4, s.238-242.
5. Yasinova S.N. Üçkomponentli məhlulda alınmış PbSe narın tozunun xassələri / S.N. Yasinova // Elmi əsərlər, 2022, ISSN 2218-4791,№2, s.245-249.
6. Yasinova S.N. Kimyəvi çökdürmə yolu ilə alınmış PbSe nazik təbəqəsinə və narın tozuna trietanolamin komponentinin təsiri/ S.N.Yasinova // AJP Fizika, 2022, vol.XXVIII №1, section:Az, s.47-51.
7. Мехтиева С.И. Оптические свойства и критические точки nanostructured PbSe thin films / С.И.Мехтиева, М.Г.Гусейналиев, С.Н.Ясинова, Д.Н.Джалилли, //Физика и техника полупроводников,2020, том 54, вып. 6, с.527-532.
8. Mehdiyeva S.I. Spectroscopic ellipsometry study of nanostructured PbSe thin films/ S.I.Mehdiyeva, Huseynaliyev, S.N.Yasinova // International Journal on “Technical and Physical Problems of Engineering” IJTPE-2021, Iss. 48, Vol. 13, No. 3, Sep. 2021, p.95-98.
9. Mehdiyeva S.I., Huseynaliyev M.H., Yasinova S.N. Spectroscopic ellipsometry study of PbSSe thin films obtained by CBD method // 19th International Conference on “Technical and Physical Problems of Electrical Engineering”, İstanbul :ICTPE-2023, 31 October 2023, p. 69-73.
10. Mehdiyeva S.I.Dielectric function spectra and critical points of OF PbSSe thin films measured by spectroscopic ellipsometry /

S.I.Mehdiyeva, M.H.Huseynaliyev, S.N.Yasinova // Issue 58, Volume 16, Number 1, IJTPE-2024 p.149-153.

11. Mehdiyeva S.I., Huseynaliyev M.H., Yasinova S.N. Optical characterization of nanostructured PbSe thin films preparation using chemicalbath deposition technique // İstanbul: ICTPE-2019, p.87-89.
12. Yasinova S.N.Properties of X-ray diffraction and Raman scattering in PbSe, PbS and $PbS_{0,5}Se_{0,5}$ thin films/ S.N.Yasinova, S.I.Mehdiyeva, R.İ.Alekberov, M.H.Huseynaliyev // Chalcogenide letters, Rumania, Vol.21, No. 5, May 2024, p.377-383.
13. Mehdiyeva S.I., Huseynaliyev M.H., Yasinova S.N.Dielectric function and critical points of nanostructured PbSe thin films // İstanbul: ICTPE-2020, p.61-65.
14. Mekhtiyeva S.I. Optical Properties and Critical Points of PbSe Nanostructured Thin Films / S.I.Mekhtiyeva, M.N.Huseynaliyev, S.N.Yasinova, D.N.Jalilli // ISSN 1063-7826, Semiconductors, 2020, Vol. 54, No. 6, p. 630–633.
15. Mekhtiyeva S.İ., Ələkbərov R.İ., Hüseynəliyev M.H., Yasinova S.N. Structural and optical properties of PbSe(S) thin films //Vladivostok, Russia: International Conference Advanced Laser Technologies(ALT24), 23-27 September 2024, p.180.
16. Mehdiyeva S.İ., Ələkbərov R.İ., Hüseynəliyev M.H., Yasinova S.N. Kimyəvi çökdürmə üsulu ilə alınan PbS, PbSe və $PbS_{0,5}Se_{0,5}$ nazik təbəqələrinin elektrik xassələri // Naxçıvan: AJP Fizika, NM Respublikasının 100 illiyi və Azərbaycan Respublikası Elm və Təhsil Nazirliyi Fizika İnstitutu alimlərinin yubileyinə həsr olunmuş Beynəlxalq konfrans,AJP Fizika, Section.C,5-8 iyun, 2024, ISSN 1028-8546, s.68-70.



Dissertasiyanın müdafiəsi 04 dekabr 2024-cü il tarixində saat 09:30-da Azərbaycan Respublikası Elm və Təhsil Nazirliyi Fizika İnstitutunun nəzdində fəaliyyət göstərən ED 1.14 Dissertasiya şurasının iclasında keçiriləcək.

Ünvan: AZ1073, Bakı şəh., H. Cavid pr.131.

Dissertasiya işi ilə Azərbaycan Respublikası Elm və Təhsil Nazirliyi Fizika İnstitutunun Kitabxanasında tanış olmaq mümkündür.

Dissertasiya və Avtoreferatın elektron versiyaları Azərbaycan Respublikası Elm və Təhsil Nazirliyi Fizika İnstitutunun rəsmi internet saytında yerləşdirilmişdir.

Avtoreferat 25 oktyabr 2024-cü il tarixində zəruri ünvanlara göndərilmişdir.

Çapa imzalanıb: 25.10.2024

Kağızın formatı: A5

Həcm: 42820

Tiraj: 100